# (19) **日本国特許庁(JP)**

# (12)公表特許公報(A)

(11)特許出願公表番号

特表2004-503059 (P2004-503059A)

最終頁に続く

(43) 公表日 平成16年1月29日(2004.1.29)

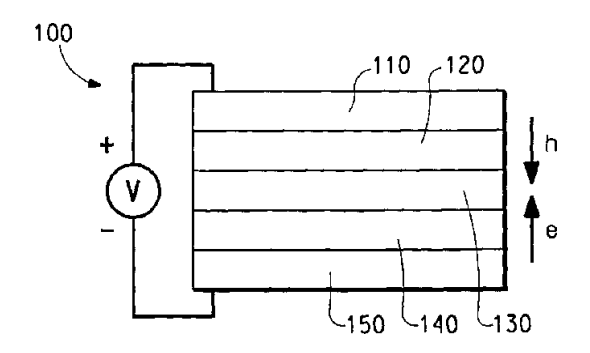
(51) Int.C1. <sup>7</sup>	F I		テーマコード (参考)	
HO5B 33/14	HO5B 33/14	В	3KOO7	
CO7D 213/26	CO7D 213/26		4 C O 3 1	
CO7D 213/30	CO7D 213/30		4CO55	
CO7D 215/12	CO7D 215/12		4H050	
CO7F 15/00	CO7F 15/00	E		
	審査請求未請求	予備審査請求 有	(全 85 頁) 最終頁に続	· <

(71) 出願人 390023674 (21) 出願番号 特願2002-507959 (P2002-507959) (86) (22) 出願日 平成13年6月27日 (2001.6.27) イー・アイ・デュポン・ドウ・ヌムール・ (85) 翻訳文提出日 平成15年1月6日 (2003.1.6) アンド・カンパニー PCT/US2001/020539 E. I. DU PONT DE NEMO (86) 国際出願番号 URS AND COMPANY (87) 国際公開番号 W02002/002714 アメリカ合衆国、デラウエア州、ウイルミ (87) 国際公開日 平成14年1月10日 (2002.1.10) (31) 優先権主張番号 60/215, 362 ントン、マーケット・ストリート 100 7 (32) 優先日 平成12年6月30日 (2000.6.30) (33) 優先権主張国 米国 (US) (74) 代理人 100077481 (31) 優先権主張番号 60/224, 273 弁理士 谷 義一 平成12年8月10日 (2000.8.10) (74) 代理人 100088915 (32) 優先日 (33) 優先権主張国 米国 (US) 弁理士 阿部 和夫 (72) 発明者 ブャチェスラブ エー. ペトロフ アメリカ合衆国 19707 デラウェア 州 ホッケシン キャパ コート 2

(54) 【発明の名称】フッ素化フェニルピリジン、フェニルピリミジン及びフェニルキノリンを伴うエレクトロルミネセントイリジウム化合物及びかかる化合物で作られたデバイス

# (57)【要約】

本発明は一般に、エレクトロルミネセント Ir(III) 化合物、Ir(III) 化合物を作るために使用される置換 2 - フェニルピリジン、フェニルピリミジン及びフェニルキノリン、ならびにIr(III) 化合物で作られるデバイスに向けられている。



# 【請求項1】

発 光 層 を 含 む 有 機 電 子 デ バ イ ス に お い て 、 発 光 層 の 少 な く と も 2 0 重 量 % が IrLaLbLcxL'vL''z

という化学式を有する少なくとも 1 つの化合物を含み、式中、

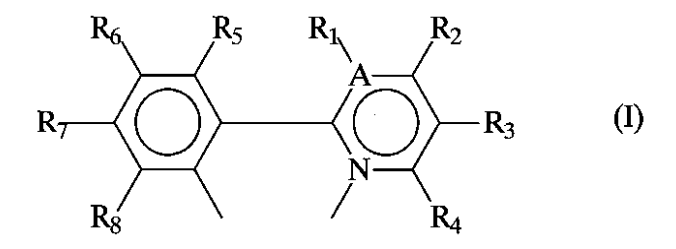
x = 0 又は y + z = 0 であり、 y = 2 であるとき z = 0 であることを条件として、 x = 0又は  $1 \times y = 0 \times 1$  又は  $2 \times$  及び z = 0 又は 1 であり;

(2)

L 'が単座配位子であるとき y + z = 2 であり、L 'が二座配位子であるとき z = 0 であ ることを条件として、L'=二座配位子又は単座配位子であり、かつフェニルピリジン、 フェニルピリミジン又はフェニルキノリンではなく;

L``は、単座配位子であり、かつフェニルピリジン及びフェニルピリミジン又はフェニ ルキノリンではなく;

La、Lb及びLcは互いに同様であるか又は異なり、La、Lb及びLcの各々は 【化1】



という構造(I)を有し、式中、

R<sub>1</sub> - R<sub>4</sub> 及び R<sub>5</sub> - R<sub>8</sub> の隣接対を接合させて 5 員環又は 6 員環を形成することができ

R  $_1$  - R  $_8$  の少なくとも1つはF、С  $_n$  F  $_2$   $_n$  +  $_1$  、ОС  $_n$  F  $_2$   $_n$  +  $_1$  及びОС F  $_2$  X か ら選択され、式中、n゠1‐6、X=H、C1又はBrであり、

A = N であるとき  $R_1$  は存在しないことを条件として、 A = C 又は N であることを特徴と する有機電子デバイス。

# 【請求項2】

× = 1、 y = 0 および z = 0 であることを特徴とする請求項 1 に記載のデバイス。

A=Cであり、R1-R8のいずれもニトロから選択されないことを特徴とする請求項2 に記載のデバイス。

# 【請求項4】

R<sub>3</sub>がCF<sub>3</sub>であることを特徴とする請求項1に記載のデバイス。

### 【請求項5】

R  $_5$  - R  $_8$  のうち少なくとも1つが  $_5$  、 C  $_n$  F  $_2$   $_n$  +  $_1$  、 O C  $_n$  F  $_2$   $_n$  +  $_1$  及び O C F  $_2$ X から選択され、式中、n = 1 ~ 6 、 X = H 、 C 1 又は B r であることを特徴とする請求 項4に記載のデバイス。

### 【請求項6】

 $A = C \setminus R_3 = C F_3 \setminus R_7 = F$ であり、 $R_1 \setminus R_2 \setminus R_4 - R_6$  及び $R_8 = H$ であるこ とを特徴とする請求項2に記載のデバイス。

### 【請求項7】

 $A = C \setminus R_3$  及び $R_6 = C F_3$  であり、 $R_1 \setminus R_2 \setminus R_4 \setminus R_5 \setminus R_7$  及び $R_8 = H$ であ ることを特徴とする請求項2に記載のデバイス。

# 【請求項8】

 $A = C \setminus R_3 = C F_3 \setminus R_6$  及び $R_8 = F \setminus D$ び $R_1 \setminus R_2 \setminus R_4 \setminus R_5$  及び $R_7 = H$ で あることを特徴とする請求項2に記載のデバイス。

### 【請求項9】

10

20

30

20

30

40

50

$$CH_3$$
 $CC_2H_5$ 
 $CF_3$ 
 $CC_2H_5$ 

という構造(VI)を有し、×=0及びy=1であることを特徴とする請求項1に記載の デバイス。

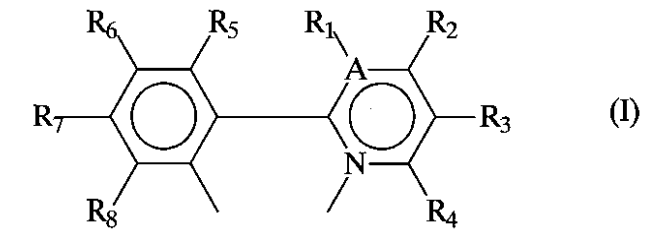
(3)

#### 【請求項10】

発光層を含む有機電子デバイスにおいて、発光層が希釈剤及び

Ir L a L b L c

という化学式を有する少なくとも 1 つの化合物を 2 0 重量 % 未満含む、式中、 L  $^{a}$  、 L  $^{b}$  及び L  $^{c}$  は互いに同様であるか又は異なり、 L  $^{a}$  、 L  $^{b}$  及び L  $^{c}$  の各々は 【 化 3 】



という構造(I)を有し、式中、

R<sub>1</sub> - R<sub>4</sub> 及び R<sub>5</sub> - R<sub>8</sub> の隣接対を接合させて 5 員環又は 6 員環を形成することができ

R  $_1$  - R  $_8$  の少なくとも 1 つは F 、 C  $_n$  F  $_2$   $_n$  +  $_1$  、 O C  $_n$  F  $_2$   $_n$  +  $_1$  及び O C F  $_2$  X から選択され、式中、 n = 1 - 6 、 X = H 、 C l 又は B  $_r$  であり、

A = N であるとき  $R_1$  は存在しないことを条件として、 A = C 又は N であることを特徴とする有機電子デバイス。

### 【請求項11】

希 釈 剤 が、 ポリ( N - ビニルカルバゾール)、 ポリシラン、 4 , 4 ' - N , N ' - ジカルバゾールビフェニル及び第 3 級 芳 香 族 アミンから 選択されることを特徴とする 請求項 1 0 に記載のデバイス。

【請求項12】

30

メチルフェニル ] (4-メチルフェニル)メタン(MPMP)、1-フェニル-3-[p-(ジエチルアミノ)スチリル]-5-[p-(ジエチルアミノ)フェニル]ピラゾリン(PPR又はDEASP)、1,2-トランス-ビス(9H-カルバゾル-9-イル)シクロブタン(DCZB)、N,N,N,,N,-テトラキス(4-メチルフェニル)-(1,1~-ビフェニル)-4,4~-ジアミン(TTB)、ポルフィリン化合物、及びそれらの組み合わせから選択されるホール輸送層をさらに含むことを特徴とする請求項1に記載のデバイス。

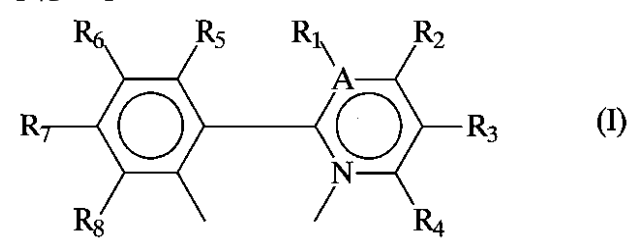
# 【請求項13】

トリス(8-ヒドロキシキノラト)アルミニウム、2,9-ジメチル-4,7-ジフェニル-1,10-フェナントロリン(DDPA)、4,7ジフェニル-1,10-フェナントロリン(DPA)、2(4-ビフェニリル)-5-(4-t-ブチルフェニル)-1,3,4-オキサジアゾール(PBD)、3-(4-ビフェニリル)-4-フェニル-5-(4-t-ブチルフェニル)-1,2,4-トリアゾール(TAZ)、及びそれらの組み合わせから選択される電子輸送層をさらに含むことを特徴とする請求項1に記載のデバイス。

### 【請求項14】

fac-Ir(L) $_3$ 、mer-Ir(L) $_3$ 及びそれらの組合せから選択される化学式を有する化合物において、式中、Lは、表 1 に示される  $\underline{1-a} \sim \underline{1-m}$ 及び  $\underline{1-q} \sim 1-v$  の基から選択され、

# 【化4】



という構造(I)を有し、式中、

R <sub>1</sub> - R <sub>4</sub> 及び R <sub>5</sub> - R <sub>8</sub> の隣接対を接合させて 5 員環又は 6 員環を形成することができ 、

R  $_1$  - R  $_8$  の少なくとも  $_1$  つは  $_5$  、 C  $_n$  F  $_2$   $_n$  +  $_1$  、 O C  $_n$  F  $_2$   $_n$  +  $_1$  及び O C F  $_2$  X から選択され、式中、  $_n$  =  $_1$  -  $_5$  、 X = H、 C  $_1$  又は B  $_1$  であり、

A = N であるとき  $R_1$  は存在しないことを条件として、 A = C 又は N であることを特徴とする化合物。

# 【請求項15】

以下の構造(IV)、(V)、(VI)、(IX)及び(X)

【化5】

$$F_3C$$
 $Ir$ 
 $O$ 
 $CF_3$ 
 $(IV)$ 

$$CF_3$$
 $CF_3$ 
 $COH_2$ 
 $CF_3$ 
 $CF_3$ 
 $COH_2$ 
 $CF_3$ 

$$CH_3$$
 $CC_2H_5$ 
 $CF_3$ 
 $CO_2H_5$ 

10

20

30

$$CF_3$$

(IX)

(X)

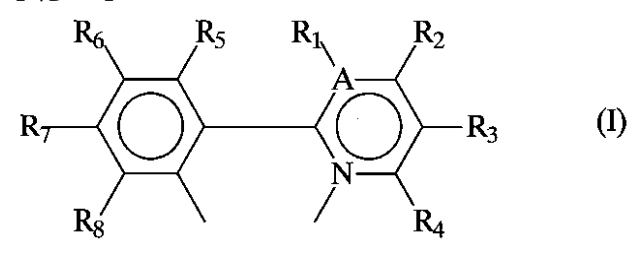
から選択される構造を有することを特徴とする化合物。

# 【請求項16】

以下の(i)および(ii):

(6)

【化7】



という構造(I)を有し、式中、

R 1 - R 4 及び R 5 - R 8 の隣接対を接合させて 5 員環又は 6 員環を形成することができ.

 $R_1 - R_8$  の少なくとも 1 つは F 、  $C_n$   $F_{2n+1}$  、 O  $C_n$   $F_{2n+1}$  及び O C  $F_2$  X から選択され、式中、 n=1-6 、 X=H 、 C 1 又は B r であり、

A = N であるとき  $R_1$  は存在しないことを条件として、 A = C 又は N である、化合物; ( i i ) 10

20

30

【化8】

$$F_3C$$
 $Ir$ 
 $O$ 
 $CF_3$ 
 $(IV)$ 

$$\begin{array}{c|c}
\hline
 & & \\
\hline$$

$$CH_3$$
 $CF_3$ 
 $CCH_3$ 
 $CVI$ 
 $OC_2H_5$ 

40

30

10

# 【化9】

$$rac{1}{\sqrt{\frac{1}{C}F_3}}$$

(IX)

(X)

という構造(IV)、(V)、(VI)、(IX)及び(X)のうちの1つを有する化合物、

から選択される化合物を含む発光層を含むことを特徴とする有機電子デバイス。

### 【請求項17】

発光層がさらに希釈剤を含むことを特徴とする請求項16に記載のデバイス。

# 【請求項18】

希釈剤が、ポリ(N-ビニルカルバゾール)、ポリシラン、4,4'-N,N'-ジカルバゾールビフェニル及び第 3 級芳香族アミンから選択されることを特徴とする請求項 1 7 に記載のテバイス。

# 【請求項19】

表 2 に示される化合物 <u>2 - a ~ 2 - a a</u>から選択され、以下の構造(II): 【化10】

$$R_7$$
 $R_8$ 
 $R_9$ 
 $R_9$ 

(式中、

R 。 は H で あ り 、

R<sub>1</sub> - R<sub>4</sub> 及び R<sub>5</sub> - R<sub>8</sub> の隣接対を接合させて 5 員環又は 6 員環を形成することができ、

10

20

30

40

 $R_1 - R_8$  の少なくとも 1 つは F 、  $C_n$   $F_{2n+1}$  、 O  $C_n$   $F_{2n+1}$  及び O C  $F_2$  X から選択され、式中、 n=1-6 、 X=H 、 C 1 又は B r であり、

A = N であるとき  $R_1$  は存在しないことを条件として、 A = C 又は N である)を有することを特徴とする化合物。

# 【請求項20】

以下の構造(III):

# 【化11】

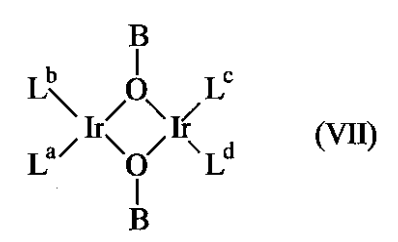
$$R_{18}$$
 $R_{19}$ 
 $R_{20}$ 
 $R_{15}$ 
 $R_{14}$ 
 $R_{11}$ 
 $R_{12}$ 
 $R_{13}$ 
(III)

を有し、式中、R  $_{17}$  = C F  $_{3}$  であり R  $_{10}$  - R  $_{16}$  及び R  $_{18}$  - R  $_{20}$  が H であることを特徴とする化合物。

# 【請求項21】

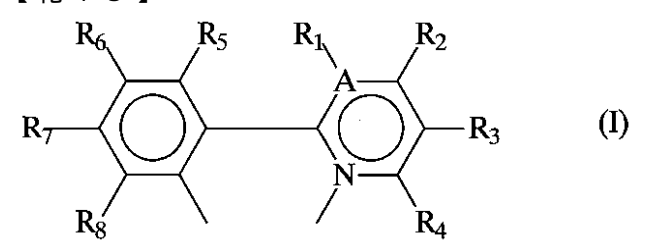
以下の構造 V I I:

### 【化12】



を有する化合物において、式中、 B = H、 C H  $_3$  又は C  $_2$  H  $_5$  であり、 L  $^a$  、 L  $^b$  、 L  $^c$  及び L  $^d$  は互いに同じであるか又は異なり、 L  $^a$  、 L  $^b$  、 L  $^c$  及び L  $^d$  30の各々は

# 【化13】



という構造(I)を有し、式中、

R <sub>1</sub> - R <sub>4</sub> 及び R <sub>5</sub> - R <sub>8</sub> の隣接対を接合させて 5 員環又は 6 員環を形成することができ 、

R  $_1$  - R  $_8$  の少なくとも  $_1$  つは  $_5$  、 C  $_n$  F  $_2$   $_n$  +  $_1$  、 O C  $_n$  F  $_2$   $_n$  +  $_1$  及び O C F  $_2$  X から選択され、式中、  $_n$  =  $_1$  -  $_6$  、 X = H、 C  $_1$  又は B  $_7$  であり、

A=N であるとき  $R_1$  は存在しないことを条件として、 A=C 又は N であることを特徴とする化合物。

### 【請求項22】

$$L^a = L^b = L^c = L^d$$
;

B = H;

$$R_3 = C F_3$$
;

50

40

 $R_7 = F$ ;

R<sub>1</sub>、R<sub>2</sub>、R<sub>4</sub> - R<sub>6</sub>及びR<sub>8</sub> = Hである ことを特徴とする請求項21に記載の化合物。

【発明の詳細な説明】

[0001]

(発明の背景)

(発明の分野)

本発明は、フッ素化フェニルピリジン、フェニルピリミジン及びフェニルキノリンに関する。これは同様に、活性層がエレクトロルミネセントIr(III)錯体を内含する電子デバイスにも関する。

[0002]

(関連技術の説明)

表示装置を構成する発光ダイオードといったような光を発する有機電子デバイスが、さまざまな種類の電子機器の中に存在している。かかるデバイス全てにおいて、有機活性層は、2つの電気接点層の間にはさまれている。電気接点層の少なくとも1つは、光透過性であり、そのため、光は、電気接点層の中を通過することができる。有機活性層は、電気接点層を横断して電気を印加した時点で光透過性電気接点層を通して光を発出する。

[0003]

発光ダイオード内の活性成分として有機エレクトロルミネセント化合物を使用することは周知である。アントラセン、チアジアゾール誘導体及びクマリン誘導体といったような単純な有機分子が、エレクトロルミネッセンスを示すことが知られている。半導電性共役重合体も同様に、Friend et al. 米国特許第5,247,190号,Heeger et al., 米国特許第5,408,109号及びNakano et al., 公開された欧州特許出願第443,861号で開示されたように、エレクトロルミネセンス成分として使用されてきた。3価の金属イオン特にアンモニウムと8ヒドロキシキノレートの錯体が、例えば、Tang et al.,米国特許第5,552,678号の中で開示されてきたように、エレクトロルミネセンス成分として広く使用されてきた。

[0004]

Burrows 及び Thompson は、fac-トリス(2-フェニルピリジン)イリジウムを有機発光デバイス内で活性成分として使用できるということを報告した(Appl. Phys. Lett. 1999、75.4.)。イリジウム化合物がホスト導電性材料の中に存在する場合に、性能が最大となる。Thompsonは、活性層がfac-トリス〔2-(4',5'-ジクロロフェニル)ピリジン-С<sup>12</sup>、N〕イリジウム(III)でドープされたポリ(N-ビニルカルバゾール)であるデバイスについてさらに報告した(Polymer Preprints 2000、41(1)、770)

[0005]

しかしながら、改善された効率を示すエレクトロルミネセント化合物に対するニーズがひ き続き存在している。

[0006]

(発明の概要)

本発明は、配位子上に少なくとも1つのフッ素又はフッ素化された基が存在する少なくとも2つのフェニルピリジン配位子を有するイリジウム化合物(一般に「Ir(III)化合物」と呼ばれる)に向けられている。イリジウム化合物は、以下の第1の化学式を有する。

Ir L<sup>a</sup> L<sup>b</sup> L<sup>c</sup> <sub>x</sub> L'<sub>y</sub> L''<sub>z</sub> (第1化学式)

なお式中、

x = 0 又は y + z = 0 であり、 y = 2 であるとき z = 0 であることを条件として、 x = 0 又は 1 、 y = 0 、 1 又は 2 、及び z = 0 又は 1 であり;

10

20

30

40

L 'が単座配位子であるとき y + z = 2 であり、 L 'が二座配位子であるとき z = 0 であることを条件として、 L '=二座配位子又は単座配位子でありかつフェニルピリジン、 フェニルピリミジン又はフェニルキノリンではなく;

L ''は、単座配位子であり、かつフェニルピリジン及びフェニルピリミジン又はフェニルキノリンではなく;

L<sup>a</sup>、L<sup>b</sup>及びL<sup>c</sup>は互いに同様であるか又は異なり、L<sup>a</sup>、L<sup>b</sup>及びL<sup>c</sup>の各々は

[0007]

【化14】

$$R_{7}$$
 $R_{8}$ 
 $R_{1}$ 
 $R_{2}$ 
 $R_{3}$ 
 $R_{4}$ 
 $R_{1}$ 
 $R_{2}$ 
 $R_{3}$ 
 $R_{4}$ 
 $R_{4}$ 

[0008]

という構造(I)を有し、式中、

R  $_1$  - R  $_4$  及び R  $_5$  - R  $_8$  の隣接対を接合させて 5 員環又は 6 員環を形成することができ、

R  $_1$  - R  $_8$  の少なくとも 1 つは F 、 C  $_n$  F  $_2$   $_n$  +  $_1$  、 O C  $_n$  F  $_2$   $_n$  +  $_1$  及び O C F  $_2$  X か 20 ら選択され、式中、 n = 1 - 6 、 X = H 、 C  $_1$  又は B  $_1$  であり、

A = N であるとき  $R_1$  は存在しないことを条件として、 A = C 又は N である。

[0009]

もう 1 つの実施形態においては、本発明は、上述の I r ( I I I )化合物を作る置換 2 - フェニルピリジン、フェニルピリミジン及びフェニルキノリン前駆体化合物に向けられる。前駆体化合物は、以下の構造( I I I )及び( I I I I )を有する。

[0010]

【化15】

$$R_7$$
 $R_8$ 
 $R_9$ 
 $R_4$ 
 $R_1$ 
 $R_2$ 
 $R_3$ 
 $R_4$ 
 $R_3$ 
 $R_4$ 
 $R_5$ 
 $R_4$ 
 $R_5$ 
 $R_5$ 
 $R_1$ 
 $R_2$ 
 $R_3$ 
 $R_4$ 
 $R_5$ 
 $R_4$ 
 $R_5$ 
 $R_5$ 
 $R_5$ 
 $R_5$ 
 $R_6$ 
 $R_7$ 
 $R_8$ 
 $R_9$ 
 $R_8$ 

[0011]

(なお式中、 A 及び R  $_1$  - R  $_8$  は、上述の構造( 1 )に定義されている通りであり、 R  $_9$  は H である。)

[0012]

【化16】

$$R_{18}$$
 $R_{19}$ 
 $R_{20}$ 
 $R_{15}$ 
 $R_{14}$ 
 $R_{11}$ 
 $R_{12}$ 
 $R_{13}$ 
(III)

50

[0013]

(なお式中、R $_{10}$ -R $_{19}$ のうちの少なくとも1つは、F、C $_{n}$ F $_{2n+1}$ 、OC $_{n}$ F $_{2n+1}$  及びOCF $_{2}$  Xから選択され、n=1-6であり、X=H、Cl又はBr、R $_{20}$ 0 はHである)。

[0014]

フェニル・ピリジン、フェニル・ピリミジン及びフェニル・キノリン結合を中心として自由な回転が存在することがわかる。しかしながら、本書の論述にあたっては、化合物を 1 つの配向に関して記述する。

[0015]

もう1つの実施形態においては、本発明は、上述のIr(III)化合物又は上述のIr (III)化合物の組合せを含む少なくとも1つの発光層を有する有機電子デバイスに向けられている。

[0016]

本書で使用される「化合物」という語は、物理的手段で分離できない原子でさらに構成されている分子から成る無帯電物質を意味するものとして意図されている。「配位子」という語は、金属イオンの配位圏に付着される分子、イオン又は原子を意味するものとして意図されている。「錯体」という語は、名詞として使用された場合、少なくとも1つのイオン及び少なくとも1つの配位子を有する化合物を意味するものとして意図されている。「基」という語は、1つの錯体内の配位子又は有機化合物内の置換基といった、1つの化合物の一部分を意味するものとして意図されている。「フェイシャル」という語は、3つの「a」基が全て隣接している、すなわち8面体の1面のコーナーにある、8面体の幾何形状を有する錯体Maaba の1つの異性体を意味することが意図されている。

[0017]

(好ましい実施形態の詳細な説明)

本発明のIr(III)化合物は、上述の第1化学式Ir(III) L<sup>a</sup> L<sup>b</sup> L<sup>c</sup> <sub>x</sub> L''<sub>y</sub> を有する。

[0018]

上述のIr(III)化合物は、往々にしてシクロメタレート化錯体と呼ばれる。すなわち、以下の第2化学式を有するIr(III)化合物は同様に往々にしてビス・シクロメタレート化錯体と呼ばれる。

Ir L <sup>a</sup> L <sup>b</sup> L ' <sub>y</sub> L ' ' <sub>z</sub> (第2化学式)

(なお式中、y、z、L<sup>a</sup>、L<sup>b</sup>、L'及びL''は、上述の第1化学式で定義された通りである。

[0019]

以下の第3化学式を有するIr(III)も、往々にしてトリス・シクロメタレート化錯体と呼ばれる。

IrL<sup>a</sup>L<sup>b</sup>L<sup>c</sup> (第3化学式)

なお式中、

L<sup>a</sup>、L<sup>b</sup>及びL<sup>c</sup>は、上述の第1化学式に定義された通りである。

[0020]

好ましいシクロメタレート化錯体は中性かつ非イオン性であり、無傷の状態で昇華され得る。真空被着を介して得られたこれらの材料の薄膜は、良好乃至は優秀なエレクトロルミネセント特性を示す。イリジウム原子上の配位子内へのフッ素置換基の導入は、錯体の安定性及び揮発性の両方を増大させる。その結果、低温で真空被着を実施することができ、錯体の分解を回避することができる。配位子内へのフッ素置換基の導入により、往々にして非放射性崩壊速度及び固体状態での自己消光現象を低減させることができる。これらの低減は、エレクトロルミネセンス効率の増強を導く可能性がある。電子供与及び電子求引性特性を伴う置換基を変動させることで化合物のエレクトロルミネセント特性の微同調、ひいてはエレクトロルミネセントデバイスにおける明度及び効率の最適化が可能となる。

[0021]

50

40

20

理論による束縛を望むわけではないが、イリジウム化合物からの発光は、金属・配位子門の電荷移送の結果として配位子に基づくものであると考えられている。従って、エレクトロルミネセンスを示すことのできる化合物には、以上の第2化学式IrLaLbL^っ、2の化合物、及び第3化学式IrLaLbL^の化合物が含まれ、ここでの第3化学式中の全てのLa、Lb及びL^はフェニルピリジン、フェニルピリジン又はフェールキノリンである。上述の構造(I)及び(II)のRi-R8基及び構造(III)のRi-R8を及びシアノ基ならのRカーの・Ri9基は、アルキル、アルコキシ、ハロゲン、ニトロ、及びシアノ基ならののは来の置換基から選択することができる。これらの基は、部分的に又は完全にフのの従来の置換基は、フルオロ、過フッ素化アルキル(CnF2n+1)及び過フッ素化アルキル及びフッ素化アルキル及びアルコキシ基は、フルオロ、過フッ素化アルキル及びアルコキシ基は、1~6個の炭素原子を有する)か又は化学式(OCF2X)の基(式中、X=H、CI又はBr)から選択されている。

[0022]

シクロメタレート化イリジウム錯体のエレクトロルミネセント特性は、 R $_1$ - R $_8$  及び R $_1$ 0- R $_1$ 9 基のうちのいずれか単数又は複数のものがニトロ基である場合により低いものとなる、ということがわかっている。従って、 R $_1$ - R $_8$  及び R $_1$ 0- R $_1$ 9 基のいずれもニトロ基でないことが好ましい。

[0023]

窒素含有環は、ピリジン環、ピリミジン環又はキノリン環であり得る。少なくとも 1 つのフッ素化置換基が、窒素含有環上にあることが好ましい(最も好ましくは C F 3 )。

[0024]

遷移金属配位化学にとって既知の従来のあらゆる配位子が、L,及びL,,配位子として適切である。二座配位子の例としては、置換可能なエチレンジアミン及びアセチルアセトネートといったような、2つの配位基を有する化合物が含まれる。単座配位子の例としては、塩化物及び硝酸塩イオン及びモノアミンが含まれる。イリジウム錯体は中性で昇華可能であることが好ましい。単一の二座配位子が使用される場合、マイナス1(・1)の正味電荷を有するはずである。2つの単座配位子が使用されている場合、これらは、マイナス1(・1)の組合せ正味電荷を有するはずである。ビス・シクロメタレート化錯体は、配位子全てが同じではないトリス・シクロメタレート化錯体を調製する上で有用であり得る。

[0025]

好ましい実施形態においては、イリジウム錯体は、上述のように第 3 化学式  $I r L^a L^b$   $L^c$  を有する。

[0026]

より好ましい実施形態においては、L<sup>a</sup> = L<sup>b</sup> = L<sup>c</sup> である。これらのより好ましい化合物は好ましくは、イリジウムに配位された窒素原子がイリジウムに配位された炭素原子との関係においてトランスである、単結晶 X 線回折によって決定されるようなフェイシャル幾何形状を示すことが多い。これらのより好ましい化合物は、以下のような第 4 化学式を有する。

Fac-Ir(L<sup>a</sup>)<sub>3</sub> (第4化学式)

(式中、L<sup>a</sup>は、上述の構造(I)を有する)。

[0027]

化合物は同様に、イリジウムに配位された窒素原子のうちの 2 つが互いにトランスである メリディオナル幾何形状を示す。これらの化合物は以下の第 5 化学式を有する:

mer-Ir(L<sup>a</sup>)<sub>3</sub> (第5化学式)

(式中、L<sup>a</sup>は上述の構造(I)を有する)。

[0028]

以上の第4化学式及び第5化学式の化合物の例は、下表 - 1に示されている。

20

30

40

【 0 0 2 9 】 【表 1 】

					表1					-
化合物	A	R <sub>1</sub>	$R_2$	$R_3$	$R_4$	R <sub>5</sub>	R <sub>6</sub>	$\mathbf{R}_7$	R <sub>8</sub>	化学式
1-a	С	Н	Н	CF <sub>3</sub>	Н	Н	Н	Н	Н	第4
1-b	С	Н	Н	CF <sub>3</sub>	Н	Н	Н	F	Н	第4
1-c	C	Н	Н	CF <sub>3</sub>	Н	F	Н	Н	Н	第4
1-d	C	Н	Н	Н	Н	F	Н	Н	Н	第4
1-е	С	Н	н	CF <sub>3</sub>	Н	Н	CF <sub>3</sub>	Н	Н	第4
1-f	C	Н	Н	Н	Н	Н	CF <sub>3</sub>	Н	Н	第4
1-g	С	Н	H	Н	Н	Н	Н	F	Н	第4
1-h	С	CI	Н	CF <sub>3</sub>	Н	H	Н	H	Н	第4
1-i	C	Н	Н	CF <sub>3</sub>	Н	Н	Н	OCH3	Н	第4
1-j	С	Н	Н	CF <sub>3</sub>	Н	Н	F	Н	Н	第4
1-k	С	Н	Н	NO <sub>2</sub>	Н	Н	CF <sub>3</sub>	Н	Н	第4
1-I	C	Н	Н	CF <sub>3</sub>	Н	Н	Н	OCF <sub>3</sub>	Н	第4
1-m	N		CF <sub>3</sub>	Н	Н	Н	Н	F	Н	第4
1-q	C	Н	Н	CF <sub>3</sub>	Н	Н	$OCH_3$	Н	Н	第4
1-r	С	Н	OCH <sub>3</sub>	Н	Н	Н	Н	CF <sub>3</sub>	Н	第4
1-s	C	Н	Н	Н	Н	F	Н	F	Н	第4 及び 第5
1-t	C	Н	H	CF <sub>3</sub>	Н	Н	F	Н	F	第5
1-u	С	Н	<u>H</u>	CF <sub>3</sub>	Н	F	Н	F	Н	第5
1-v	С	Н	Н	CF <sub>3</sub>	Н	Н	Н	F	Н	第5

[0030]

上述の第 2 化学式 I r L  $^a$  L  $^b$  L  $^o$   $_y$  L  $^o$   $^o$   $_z$  の化合物例としては、それぞれ以下の構造 (IV)、、(VI)、、(VI)、、(IX) 及び(X)を有する化合物  $\underline{1-n}$ 、  $\underline{1-o}$ 、  $\underline{1-p}$ 、 1-w 及び 1-x が含まれる。

[ 0 0 3 1 ]

【化17】

10

20

$$F_3C$$
 $Ir$ 
 $O$ 
 $CF_3$ 
 $(IV)$ 

$$CH_3$$
 $CH_3$ 
 $CC_2H_5$ 
 $CF_3$ 
 $CC_2H_5$ 

$$CF_3$$

(IX)

(X)

# [0033]

上述の第3化学式 I r L a L b L c のイリジウム錯体は一般に適切な置換 2 - フェニルピリジン、フェニルピリミジン又はフェニルキノリンから調製される。以上の構造(II)に示されているような置換 2 - フェニルピリジン;フェニルピリミジン及びフェニルキノリンは、O . Lohse, P. Thevenin, E. Waldvogel Synlett, 1999、45 - 48に記述されているようにアリルホウ素酸と共に置換 2 - クロロピリジン、2 - クロロピリミジン又は 2 - クロリキノリンのスズキカップリングを用いて、良好乃至優秀な収量で調製される。この反応は、以下の等式(1)の中で、X及び Y が置換基を表わすものとしてピリジン誘導体について例示されている。

# [ 0 0 3 4 ]

# 【化19】

$$X \xrightarrow{\text{(HO)}_2 B} Y \xrightarrow{\text{[Pd]}} X \qquad (1)$$

# [0035]

上述の構造(II)を有する2 - フェニルピリジン及び2 - フェニルピリミジン 化合物の例は、下表2に示されている。

[0036]

【表2】

10

20

30

40

	表2									
化合物	A	$\mathbf{R}_1$	$R_2$	R <sub>3</sub>	R <sub>4</sub>	R <sub>5</sub>	R <sub>6</sub>	R <sub>7</sub>	R <sub>8</sub>	R <sub>9</sub>
2-a	С	Н	н	CF <sub>3</sub>	H	F	Н	Н	Н	Н
2-b	С	H	Н	CF <sub>3</sub>	H	Н	CF <sub>3</sub>	Н	Н	H
2 c	С	Н	Н	$NO_2$	H	H	CF <sub>3</sub>	Н	H	Н
2-d	C	H	Н	CF <sub>3</sub>	H	H	F	Н	Н	Н
2-e	С	H	Н	CF <sub>3</sub>	H	H	Н	CH <sub>3</sub> O	Н	Н
2·f	С	Cl	Н	CF <sub>3</sub>	H	Н	H	Н	Н	Н
2-g	C	Н	Н	H	$\mathrm{CH_3}$	Н	Н	F	Н	Н
2-h	N		н	H	H	Н	H	F	Н	Н
2-i	C	Н	Н	CF <sub>3</sub>	H	H	H	CF <sub>3</sub> O	H	Н
2-j	N		CF <sub>3</sub>	H	Н	F	Н	Н	Н	Н
2-k	C	H	Н	CF <sub>3</sub>	Н	H	Н	F	Н	Н
2-1	C	CF <sub>3</sub>	Н	H	Н	Н	Н	Н	Н	Н
2-m	C	Cl	Н	CF <sub>3</sub>	Н	H	Н	F	Н	Н
2-n	C	CF <sub>3</sub>	Н	H	H	Н	Н	F	H	Н
2-o	C	CF <sub>3</sub>	H	Н	Н	Н	Н	CH <sub>3</sub> O	H	Н
2-p	C	Cl	H	CF <sub>3</sub>	Н	Н	Н	$\mathrm{CH_{3}O}$	Н	Н
2-q	N		CF <sub>3</sub>	Н	Н	Н	Н	F	Н	Н
2-r	C	Cl	H	CF <sub>3</sub>	H	Н	Н	Н	Н	F
2-s	C	H	H	CF <sub>3</sub>	Н	Н	Н	Н	Н	Н
2-t	C	Cl	Н	H	Н	F	Н	Н	H	Н
2-v	C	Н	Ħ	CF <sub>3</sub>	Н	Н	$\mathrm{CH_{3}O}$	Н	Н	Н
2-w	С	Н	$\mathrm{CH_{3}O}$	Н	H	Н	Н	CF <sub>3</sub>	Н	H
2-x	С	H	H	Н	Н	H	F	F	H	Н
2-у	C	Н	Н	CF <sub>3</sub>	Н	Н	F	Н	F	Н
2-z	С	Н	H	CF <sub>3</sub>	H	F	Н	F	Н	H
2-aa	C	Н	H	Br	Н	Н	Н	Br	Н	Н

40

20

10

[0037]

上述の構造(II)を有する置換 2 - フェニルキノリン化合物の一例としては、 R  $_1$   $_7$  = C F  $_3$  及び R  $_1$   $_0$  - R  $_1$   $_6$  及び R  $_1$   $_8$  - R  $_2$   $_0$  = H を有する化合物  $\underline{2$  -  $\underline{u}$  がある。

[ 0 0 3 8 ]

かくして調製された 2 - フェニルピリジン、ピリミジン及びキノリンは、シクロメタレート化イリジウム錯体の合成のために使用される。市販の三塩化イリジウム水和物及びトリフルオロ酢酸銀を利用する便利な 1 段階方法が開発されてきた。一般に反応は、 3 当量のA g O C O C F 3 の存在下で、溶剤無しで余剰の 2 - フェニルピリジン、ピリミジン又はキノリンを用いて実施される。この反応は、 2 - フェニルピリジンについて以下の等式(2)に例示されている:

[ 0 0 3 9 ]

【化20】

[0040]

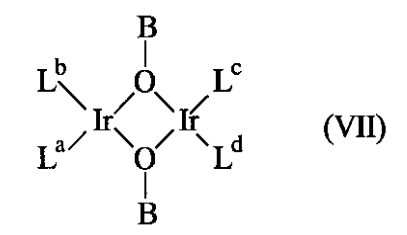
トリスシクロメタレート化イリジウム錯体は、単離、精製され、元素分析、 <sup>1</sup> H及び <sup>1 9</sup> F NMRスペクトルデータそして化合物 <u>1 - b</u>、 <u>1 - c</u>及び <u>1 - e</u>については結晶 X 線回折によって完全に特徴づけされた。一部のケースでは、異性体混合物が得られた。往々にして、個々の異性体を単離することなく、混合物を使用することができる。

[0041]

一部のケースにおいては、上述の第 2 化学式 I r L  $^a$  L  $^b$  L  $^\prime$   $_y$  L  $^\prime$   $^\prime$   $_z$  を有するイリジウム 錯体を、上述の第 3 化学式 I r L  $^a$  L  $^b$  L  $^c$  を有する錯体の調製と同じ合成手順を用いて、反応混合物から単離することができる。錯体は同じく、まず最初に以下の構造 V I I を有する中間イリジウム二量体を調製することによって調製することもできる。

[0042]

【化21】



[0043]

(なお式中、B=H、 $CH_3$  又は $C_2$   $H_5$  であり、 $L^a$ 、 $L^b$ 、 $L^c$  及び $L^d$  は互いに同じであっても異なっていてもよく、 $L^a$ 、 $L^b$ 、 $L^c$  及び $L^d$  の各々は上述の構造(I)を有する)

イリジウム二量体は一般に、まず最初に、2-フェニルピリジン、フェニルピリミジン又はフェニルキノリンと3塩化イリジウム水和物を反応させ、NaOBを添加することによって調製可能である。

[0044]

1 つの特に有用なイリジウム二量体は、以下の構造 V I I I を有するヒドロキソイリジウム二量体である:

[0045]

【化22】

$$\begin{pmatrix} & & & & & \\ & & & & & \\ & & & & & \\ & & & & & \\ & & & & & \\ & & & & & \\ & & & & & \\ & & & & & \\ & & & & & \\ & & & & & \\ & & & & & \\ & & & & & \\ & & & & & \\ & & & & & \\ & & & & & \\ & & & & & \\ & & & & & \\ & & & & & \\ & & & & \\ & & & & \\ & & & & \\ & & & & \\ & & & & \\$$

10

30

20

50

20

30

40

50

### [0046]

この中間体は、アセト酢酸エチルを添加することによって化合物 <u>1 - p</u>を調製するために 使用可能である。

### [0047]

### (電子デバイス)

本発明は同様に、その少なくとも1つの層が本発明のイリジウム錯体を内含する、2つの電気接点層の間に位置づけされた少なくとも1つの光活性層を含む電子デバイスにも関する。デバイスは、付加的なホール輸送及び電子輸送層を有することが多い。標準的構造は図1に示されている。デバイス100は、陽極層110及び陰極層150を有する。陽極に隣接しているのは、ホール輸送材料を含む層120である。陰極に隣接しているのは、電子輸送材料を含む層140である。ホール輸送層と電子輸送層の間には、光活性層130がある。

#### [0048]

デバイス100の利用分野に応じて、光活性層130は、印加電圧により活性化される発光層(例えば発光ダイオード又は発光電気化学セルの場合)、放射エネルギーに応答し、印加されたバイアス電圧を伴って又は伴わずに信号を生成する材料層(例えば光検出機構の場合)でありうる。光検出機構の例としては、光伝導セル、光導電セル、フォトスイッチ、フォトトランジスタ及び光電管及び光電池が含まれる。なお、これらの用語はMarkus, John, エレクトロニクス及びヌクレオニクス辞典、470及び476(マグローヒル、Inc.1996)内で記述されている。

#### [0049]

本発明のイリジウム化合物は、層130中の光活性材料として又は層140中の電子輸送材料として有用である。好ましくは、本発明のイリジウム錯体は、ダイオード内に発光材料として使用されている。これらの利用分野では、本発明のフッ素化化合物は、有重量のよめに固体マトリクス希釈剤中にある必要はない。層の合計重量に基づいて20重量の以上最大で100%がイリジウム化合物である層を発光層として用いることがで達しており、ことが発見された非フッ素化イリジウム化合物つまりトリス(2-フェニルピリジウムとが発見された非フッ素化イリジウム化合物つまりトリス(2-フェニルピリジウムでが発見された非フッ素化イリジウム化合物のまりトリス(2-フェニルピリジウムでが発見された非フッ素化イリジウム化合物のまりトリス(2-フェニルピリジウムである。るイリジウム化合物と共に、発光層中には、付加的な材料も存在し得る。例可に対した。イリジウム化合物と共に、発光層中には、付加的な材料も存在し得る。とも可能が表別は、ポリ(N・ビニルカルバゾル)及びポリシランといったような重合体材料であったが、ポリ(N・ビニルカルバゾル)をびポリシランといったような重合体材料であってもよい。それは、4、4~-N、N・・ジカルバゾルビフェニル又は第3級であってもよい。それは、4、4~-N、N・・ジカルバゾルビフェニルスは第3級に、層の合計重量に基づいて、通常20重量%未満、好ましくは10重量%未満の少量で存在する。

# [0050]

一部のケースでは、イリジウム錯体は、複数の異性体形態で存在することもでき、そうでなければ異なる錯体の混合物が存在していてもよい。 OLEDについての以上の論述では、「イリジウム化合物」という語は化合物及び / 又は異性体の混合物を包含することが意図されているということがわかるだろう。

#### [0051]

高効率 L E D を実現するためには、ホール輸送材料の H O M O (最高占有分子軌道)は、陽極の仕事関数と整列しているべきであり、電子輸送材料の L U M O (最低未占有分子軌道)は、陰極の仕事関数と整列しているべきである。材料の化学的相容性及び昇華温度も又、電子及びホール輸送材料を選択する上で重要な考慮事項である。

#### [0052]

OLEDのその他の層は、かかる層において有用なものとして知られているあらゆる材料で作られていてよい。陽極 1 1 0 は、正電荷担体を注入するために特に効率の良い電極である。これは、例えば金属、混合金属、合金、金属酸化物又は混合金属酸化物を含有する

20

30

40

50

材料で作られていてもよいし、或いは導電性重合体でもあり得る。適切な金属としては、第11群金属、第4群、5群及び6群の金属及び第8群~10群の遷移金属が含まれる。陽極が、光透過性のものでなくてはならない場合には、インジウム、錫・酸化物といったような第12群、13群及び14群の金属の混合金属酸化物が一般に使用される。全体として、IUPAC付番システムが用いられ、ここでは、周期表からの群は、左から右へ1~18と付番されている(CRC化学及び物理便覧)、2000年第81版)。陽極110は同様に、「可溶性導電性重合体から作られた可とう性発光ダイオード」Nature第357巻、p477~479(1992年6月11日)の中で記述されているとおりのポリアニリンといったような有機材料をも含んでいてよい。陽極及び陰極のうちの少なくとも1つが少なくとも部分的に透明であって、生成された光を観察できるようになっているべきである。

[0053]

層 1 2 0 のためのホール輸送材料の例は、例えば、Y.WangのKirk‐Othme 化学技術百科事典、第4版、第18巻、p837~860、1996年の中で要約さ れている。ホール輸送分子も重合体も、共に使用することができる。一般に使用されてい るホール輸送分子は、N , N ' - ジフェニル - N , N ' - ビス(3 - メチルフェニル) -[1,1'-ビフェニル]-4,4'-ジアミン(TPD)、1,1-ビス[(ジ-4-トリルアミノ)フェニル]シクロヘキサン(TAPC)、N,N' - ビス(4 - メチルフ ェニル) - N , N ' - ビス ( 4 - エチルフェニル ) - [ 1 , 1 ' - ( 3 , 3 ' - ジメチル ) ビフェニル ] - 4 , 4 ' - ジアミン(ETPD)、テトラキス - ( 3 - メチルフェニル ) - N , N , N ' , N ' - 2 , 5 - フェニレンジアミン (PDA)、 - フェニル - 4 - N , N - ジフェニルアミノスチレン(TPS)、p - (ジエチルアミノ)ベンズアルデ ヒドジフェニルヒドラゾン(DEH)、トリフェニルアミン(TPA)、ビス[4-(N)], N - ジエチルアミノ) - 2 - メチルフェニル ] ( 4 - メチルフェニル ) メタン ( M P M P)、1 - フェニル - 3 - [ p - (ジエチルアミノ) スチリル ] - 5 - [ p - (ジエチル アミノ)フェニル]ピラゾリン(PPR又はDEASP)、1,2-トランス-ビス(9 H - カルバゾル - 9 - イル)シクロブタン(DCZB)、N,N,N',N' - テトラキ ス(4-メチルフェニル)-(1,1'-ビフェニル)-4,4'-ジアミン(TTB) 、ポルフィリン化合物、例えば銅フタロシアニンといったものである。一般に使用される ホール輸送重合体は、ポリビニルカルバゾル、(フェニルメチル)ポリシラン及びポリア ニ リ ン で あ る 。 ポ リ ス チ レ ン 及 び ポ リ カ ー ボ ネ ー ト と い っ た よ う な 重 合 体 内 に 上 述 の も の といったようなホール輸送分子をドープすることによって、ホール輸送重合体を得ること も同様に可能である。

[ 0 0 5 4 ]

層140のための電子輸送材料の例としては、トリス(8-ヒドロキシキノラト)アルミニウム(Alaa)、2,9-ジメチル-4,7-ジフェニル-1,10-フェナントロリン(DPA)といったフェナントロリンベースの化合物;及び、2-(4-ビフェニリル)-5-(4-t-ブチルフェニル)-1,3,4-オキサジアゾール(PBD)及び3-(4-ビフェニリル)-4-フェニル-5-(4-t-ブチルフェニル)-1,2,4-トリアゾール(TAZ)といったようなアゾル化合物が含まれる。層140は、電子輸送を容易にするためと同時に、層界面における励起子のクエンチングを防止するようバッファ層又は閉込め層としても役立つべく機能し得る。好ましくは、この層は、電子移動度を促進し、励起子クエンチングを低減させる。

[0055]

陰極150は、電子及び負の電荷担体を注入するのに特に効率が良い電極である。陰極は、陽極よりも低い仕事関数を有するあらゆる金属又は非金属でありうる。陰極用材料は、アクチニド及びランタニド及び希土類元素を含む第12群金属、第1群(例えばLi,Cs)、第2群(アルカリ土類)金属のアルカリ金属から選択され得る。アルミウニム、インジウム、カルシウム、バリウム、サマリウム及びマグネシウムといったような材料なら

30

40

50

びにそれらの組合せも使用可能である。Li含有有機金属化合物も同様に、動作電圧を低下させるため有機層と陰極層の間に被着させることができる。

#### [0056]

有機電子デバイス内にその他の層を用いることも知られている。例えば、正電荷輸送及び/又は層の禁止帯幅整合を容易にするか又は保護層として機能するべく導電性重合体層120と活性層130の間に1つの層(図示せず)が存在し得る。同様にして、活性層130と陰極層150の間には、層間の負電荷輸送及び/又は禁止帯幅整合を容易にするか又は保護として機能するべく付加的な層(図示せず)が存在しうる。当該技術分野において既知の層を使用することができる。さらに、上述の層のいずれも、2層以上の層で作られていてよい。代替的には、無機陽極層110の一部又は全て、導電性重合体層120、活性層130及び陰極層150を表面処理して電荷担体輸送効率を高めることもできる。各々のコンポーネント層のための材料の選択は、好ましくは、高いデバイス効率でデバイスを提供するという最終目的のバランスをとることにより決定される。

### [0057]

各々の機能層を複数の層で作ることもできるということも理解できる。

#### [0058]

デバイスは、適切な基板上に個々の層を順次蒸着させることによって調製できる。ガラス及び重合体膜といったような基板が利用可能である。熱蒸発、化学蒸着などといったが技な従来の蒸着技術を使用することができる。代替的には、従来のあらゆるコーティング技術を用いて、適切な溶剤中の溶液又は分散から、有機層をコーティングすることができる。一般的には、異なる層は以下のような厚み範囲を有することになる:陽極1100、50~1000、好ましくは100~2000;ホール輸送層120、50~1000、好ましくは200~800;発光層130、10~1000分ましくは100~800;電子輸送層140、50~1000分ましくは200~800;陰極10、月末によりによって生命である。層厚みの望ましい比率は、使用される材料の正確な性質によって左右されることになる。

### [0059]

本発明のイリジウム化合物で作られたデバイスの効率は、デバイス内のその他の層を最適化することによってさらに改善できるということがわかる。例えば、Ca、Ba又はLiFといったようなより効率の良い陰極を使用することもできる。動作電圧の低減を結果としてもたらすか又は量子効率を増大させる整形された基板及び新規輸送材料も同様に利用可能である。さまざまな層のエネルギーレベルを調整しエレクトロルミネセンスを容易にするために、付加的層をつけ加えることもできる。

# [0060]

本発明のイリジウム錯体は往々にして、リン光性でかつホトルミネセントであり、OLED以外の利用分野でも有用であり得る。例えば、酸素感応性指示薬として、生物検定におけるリン光性指示薬として及び触媒として、イリジウムの有機金属錯体が使用されてきた。第3の配位子が同じであるか又は異なるものであるトリスシクロメタレート化錯体を合成するために、ビスシクロメタレート化錯体を使用することが可能である。

### [0061]

# (実施例)

以下の例は、本発明のいくつかの特長及び利点を例示する。これらは、本発明の一例として意図されているものであり、制限的意味を有するものではない。全ての百分率は、相反する指示のないかぎり重量百分率である。

# [0062]

### (実施例1)

この実施例は、イリジウム化合物を形成するために使用される2.フェニルピリジン及び

2 - フェニルピリミジンの調製を例示している。

### [0063]

使用される一般的手順は、 O. Lohse, P. Thevenin, E. Waldvogel Synlett, 1999、45-48の中で記述されたものである。標準的な実験においては、200mlの脱気水、20gの炭酸カリウム、150mlの1,2-ジメトキシエチレン、0.5gのPd(PPh3)4、0.05モルの置換2-クロロピリジン(キノリン又はビリミジン)及び0.05モルの置換フェニルホウ酸の混合物が、16~30時間還流された(80~90)。結果として得られた反応混合物を300mlの水で希釈し、CH2Cl2(2×100ml)で抽出した。組合さった有機層をMgSO4上で乾燥させ、溶剤を真空により除去した。分別真空蒸留によって液体生成物を精製した。固体材料をヘキサンから再結晶化させた。単離された材料の標準的純度は98%を超えていた。

### [0064]

新しい材料の出発材料、収量、融点及び沸点は、表3に示されている。NMRデータ及び分析データは表4に示されている。

[0065]

# 【表3】

表3 2-フェニルピリジン、フェニルピリミジン及びフェニルキノリンの調製

20	℃で表わされた沸点/mHg(融点)	%単位の収量	化合物
		70	2-s
		72	2-a
		48	2-b
	(76-78)	75	2-u
	(95-96)	41	2-c
	(39-40)	38	2-d
	74.5/0.1	55	2-e
	71-73/0.07	86	2-g
	77-78/0.046	65	2-t
30	(38-40)	50	2-k
30	72-73/0.01	80	2-m
	52-33/0.12	22	2-f
	95-96/13	63	2-v
		72	2-w
	61-62/0.095	35	2-x
	(68-70)	62	2-y
	66-67/0.06 (58-60)	42	2-z
	, ,	60	2-aa

[0066]

【表4】

40

<u>表 4</u> 2-フェニルピリジン、フェニルピリミジン及びフェニルキノリンの特性

化合物	1H NMR	19F NMR	分析%、実際値(計算値) 又は MS (M <sup>+</sup> )	
2-s	7.48(3H), 7.70(1H), 7.83(1H), 7.90(2H), 8.75(1H)	-62.68	C,64.50 (64.57) H,3.49 (3.59) N,6.07 (6.28)	10
2-a	7.19(1H), 7.30(1H), 7.43(1H), 7.98(2H), 8.07 (1H) 9.00(1H)	-60.82 (3F,s), -116.96 (1F, m)	C,59.56 (59.75) H,3.19 (2.90) N, 5.52 (5.81)	
2-b	7.58(1H), 7.66(1H), 7.88(1H), 8.03(1H), 8.23(1H), 8.35 (1H) 8.99(1H)	-62.75 (3F,s), -63.10 (3F, s)	C, 53.68 (53.60) H, 2.61 (2.40) N, 4.53 (4.81)	20
2-u	7.55(1H), 7.63(1H), 7.75(2H), 7.89(2H), 8.28(2H), 8.38(1H), 8.50 (1H)	-62.89 (s)	C, 69.17 (70.33) H, 3.79 (3.66) N, 4.88 (5.12)	
2-c	7.53(1H), 7.64(1H), 7.90(1H), 8.18(1H), 8.30(1H), 8.53(1H), 9.43(1H)	-62.14 (s)	C, 53.83 (53.73) H, 2.89 (2.61) N, 9.99 (10.44)	30
2-d	7.06(1H), 7.48(1H), 7.81(3H), 8.01(1H), 8.95(1H),	-62.78 (3F, s), -112.61 (1F,m)	C, 59.73 (59.75) H,2.86 (2.90) N, 5.70 (5.81)	

[ 0 0 6 7 ]

【表5】

<u>表4</u> <u>---</u> (続き)

化合物	1H NMR	19F NMR	分析%、実際値(計算値) 又は MS (M <sup>+</sup> )	
2-е	3.80(3H) 6.93(2H), 7.68(1H), 7.85(1H), 7.96(2H), 8.82(1H),	-62.63 (s)	C, 61.66 (61.90) H, 3.95 (4.04) N, 5.53 (5.38)	10
2-g	2.70(3H) 7.10(3H), 7.48(1H), 7.60(1H), 8.05(2H),	-114.03 (m)	C, 76.56 (77.00) H,5.12 (5.30) N, 5.43 (7.50)	
2-t	7.10(2H), 7.35(2H), 7.96(1H), 8.78(1H),	-62.73 (3F, s) -113.67 (1F, m)	C, 50.51 (52.17) H,1.97 (2.17) N, 5.09 (5.07)	20
2-k	7.08(2H), 7.62(1H), 7.90(3H), 8.80(1H),	-62.75 (3F,s) -111.49 ( m)	C, 60.39 (59.75), H,3.38 (2.90), N, 5.53 (5.51)	
2-m	7.10(2H), 7.80(2H), 8.00(1H), 8.75(1H),	-62.63 (3F,s) -111.24 ( m)	C, 52.13 (52.17) H,2.16 (2.17) N, 4.85 (5.07)	30
2-f	7.55(3H), 7.77(2H), 8.06(1H), 8.87(1H)	-62.57(s)	$257(M^{+}, C_{12}H_{7}F_{3}ClN^{+}), 222(M-Cl)$	
2-v	3.8(3H), 6.95(1H), 7.30(1H), 7.50(1H), 7.58(1H), 7.75(1H), 7.90(1H), 8.87(1H)	-62.70 ppm	C, 61.66 (61.37), H, 3.98 (3.67), N,5.53 (5.48)	40

[ 0 0 6 8 ]

【表6】

# <u>表4</u> (続き)

化合物	<sup>1</sup> H NMR	<sup>19</sup> F NMR	分析%、実際値(計算値) 又は MS (M⁺)	
2-w	8.54 (1H, d),	-63.08 (3F, s)		
	8.21 (2H, d),	(		
	7.70 (2H, d),			
	7.24 (1H, s),			
	6.82 (1H, dd),			
	3.91 (3H, s)			10
2-x	6.9 (2H, m),	-109.70 (1F, m),		
	7.18 (2H,m),	-113.35(1F, m).		
	7.68 (2H, m),	, ,		
	7.95(1H, m),			
	8.65(1H, m);			
2-у	6.94(1H),	-62.72 ( 3F, s),		
	7.62(2H),	-109.11 (2F, m)		
	7.82(1H),			
	8.03(1H),			
	8.96(1H);		•	
2-z	6.85(1H),	-62.80 ( 3F, s),		20
	6.93(1H),	-107.65 (1F, m),		
	7.80, 7.90,	-112.45(1F, m).		
	8.05(3H),			
	8.89(1H);			
2-aa	7.70(3H,m),			
	7.85(3H, m),			
	7.80, 7.90,			
	8.85(1H,m).			

### [0069]

(実施例2)

この実施例は、上述の第 4 化学式 f a c - I r ( L  $^a$  )  $_3$  のイリジウム化合物の調製について例示している。

# [0070]

標準的実験においては、 $IrCl_3 \cdot nH_2 O(53 \sim 55\%Ir)$ 、AgOCOCF3 (Irあたり3.1 当量)、2-アリルピリジン(余剰)及び(任意に)少量の水の混合物を、2~8時間180~195 (油浴)で $N_2$ の下で勢いよくかき混ぜた。結果として得られた混合物を、抽出物が無色になるまで $CH_2Cl_2$ で徹底的に抽出した。シリカカラムを通して抽出物を濾過して、透明で黄色の溶液を生成した。この溶液の蒸発により、残渣が得られ、これをメタノールで処理して有色の結晶質トリス・シクロメタレート化Ir錯体を生成した。錯体を濾過で分離し、メタノールで洗浄し、真空下で乾燥させ、(任意には)結晶化、真空昇華又はソックスレー抽出により精製した。収量:10~82%。全ての材料は、NMR分光データ及び元素分析によって特徴づけされ、結果は下表5に示されている。シリーズの3つの錯体について単結晶 <math>X線構造を得た。

### [0071]

(化合物1-b)

 30

50

20

30

40

50

物は凝固した。混合物を室温まで冷却した。固体を、抽出物が脱色するまでジクロロメタンで抽出した。短かいシリカカラムを通して組合さったジクロロメタン溶液を濾過し蒸発させた。メタノール(50mL)を残渣に添加し、フラスコを・10 に保ち一晩放置した。トリス・シクロメタレート化錯体の黄色沈殿物、化合物 b を分離し、メタノールで洗浄し、真空下で乾燥させた。収量:1.07g(82%)。1,2・ジクロロエメタン中のその温かい溶液をゆっくり冷却することで錯体の X 線品質の結晶を得た。

[ 0 0 7 2 ]

(化合物 1 - e)

温度をゆっくりと(15分)192 (油浴)まで上昇させながら、IrC1₃・nH₂ O(54%Ir:504mg)、2-(3-トリフルオロメチルフェニル)-5-トリフルオロメチルピリジン、化合物bb(1.60g)及びAgOCOCF₃(1.01g)の混合物をN₂流の下で勢いよくかき混ぜた。190~195 で6時間後に、混合物は凝固した。混合物を室温まで冷却した。固体を、シリカカラム上に置き、これを、次に大量のジクロロメタンで洗浄した。濾過物の蒸発後の残渣をメタノールで処理して、黄色固体を生成した。固体を収集し、25-mLのマイクロ-ソックスレー抽出装置内でジクロロメタンでの抽出により精製した。トリス-シクロメタレート化 錯体の黄色沈殿物、化合物eを分離し、メタノールで洗浄し、真空下で乾燥させた。収量:0.59g(39%)。高温の1,2-ジクロロエタンから錯体のX線品質の結晶が得られた。

[0073]

(化合物 1 - d)

190~195 (油浴)で6時間15分の間、IrCl3・nH2O(54%Ir:508mg)、2・(2・フルオロフェニル)・5・トリフルオロメチルピリジン、化合物aa(1.53g)及びAgOCOCF3(1.01g)の混合物をN2流の下で勢いよくかき混ぜた。混合物を室温まで冷却し、次に、高温1,2・ジクロロエタンで抽出した。抽出物を短かいシリカカラムを通して濾過し、蒸発させた。メタノール(20mL)での残渣の処理は、望ましい生成物、化合物dの沈殿を結果としてもたらし、これを濾過により分離し、メタノールで洗浄し、真空下で乾燥させた。収量:0.63g(49%)。ジクロロメタン/メタノールから錯体のX線品質の結晶を得た。

[0074]

(化合物 1 - i)

190~195 (油浴)で2時間45分の間、 $IrCl_3$ ・ $nH_2$ O(54%Ir:503 mg)、2-(4-トリフルオロメトキシフェニル)-5-トリフルオロメチルピリジン、化合物ee(2.00g)及びAgOCOCF<sub>3</sub>(1.10g)の混合物を $N_2$ 流の下で勢いよくかき混ぜた。混合物を室温まで冷却し、次に、ジクロロメタンで抽出した。抽出物を短かいシリカカラムを通して濾過し、蒸発させた。メタノール(20 m L)での残渣の処理は、望ましい生成物、化合物iの沈殿を結果としてもたらし、これを濾過により分離し、メタノールで洗浄し、真空下で乾燥させた。収量は0.86gであった。さらに、母液を蒸発させ、残渣に石油エーテルを添加することにより0.27gの錯体を得た。全体的収量:1.13g(72%)。

[0075]

(化合物 1 - q)

1 H)、6 . 6 ( 2 H )、4 . 8 ( 3 H )。1 , 2 - ジクロロエタン - ヘキサンから、錯体( 1 , 2 - ジクロロエタン、ヘキサン溶媒和物)の X 線品質の結晶を得た。このフェーシャル錯体は、オレンジ色光ルミネセントであった。

# [0076]

同様の要領で、化合物 1-a、1-c、1-f~1-h、 $1-\frac{j}$ ~1-m及び1-r を調製した。化合物 1-jの調製においては異性体の混合物が、 R  $_6$  又は R  $_8$  位置のいずれかでフッ素と共に得られた。

[ 0 0 7 7 ]

【表7】

	表5					
化合物	分析 (計算値(実際値))	NMR (CD <sub>2</sub> Cl <sub>2</sub> , 25°C)				
1-a	C: 50.3 (50.1) H: 2.5 (2.7) N: 4.9 (4.9) Cl: 0.0 (0.2)	<sup>1</sup> H: 6.8 (1H), 6.9 (1H), 7.0 (1H), 7.8 (2H), 7.95 (1H), 8.1 (1H) <sup>19</sup> F: -63.4				
1-b	C: 47.4 (47.3) H: 2.0 (2.1) N: 4.6 (4.4)	<sup>1</sup> H: 6.4 (1H), 6.75 (1H), 7.7 (1H), 7.8 (1H), 7.95 (1H), 8.05 (1H) <sup>19</sup> F: -63.4 (s); -109.5 (ddd)				
1-c	C: 47.4 (47.2) H: 2.0 (2.0) N: 4.6 (4.5)	<sup>1</sup> H: 6.6 (1H), 6.7 (1H), 6.9 (1H), 7.8 (1H), 8.0 (1H), 8.6 (1H) <sup>19</sup> F: -63.5 (s); -112.8 (ddd)				
1-d	C: 55.9 (56.1) H: 3.0 (3.2) N: 5.9 (5.8)	<sup>1</sup> H: 6.6 (2H), 6.8 (1H), 7.0 (1H), 7.6 (1H), 7.7 (1H), 8.4 (1H) <sup>19</sup> F: -115.0 (ddd)				
1-e	C: 44.1 (43.3) H: 1.7 (2.1) N: 3.9 (3.6)	<sup>1</sup> H: 6.9 (1H), 7.1 (1H), 7.8 (1H), 8.0 (2H), 8.2 (1H) <sup>19</sup> F: -63.0 (1F), -63.4 (1F)				
1-f	C: 50.4 (50.5) H: 2.5 (2.7) N: 4.9 (4.9)	<sup>1</sup> H: 6.9 (1H), 7.1 (2H), 7.6 (1H), 7.8 (1H), 7.9 (1H), 8.1 (1H) <sup>19</sup> F: -62.4				

[0078]

【表8】

10

20

		<u>長5</u> 売き)
化合物	分析 (計算値(実際値))	NMR (CD <sub>2</sub> Cl <sub>2</sub> , 25°C)
1-g	C: 55.9 (56.3) H: 3.0 (3.2) N: 5.9 (6.0)	<sup>1</sup> H; 6.4 (1H), 6.7 (1H), 7.0 (1H), 7.6 (1H), 7.7 (2H), 7.9 (1H) <sup>19</sup> F: -112.6 (ddd)
1-h	C: 51.0 (45.2) H: 2.1 (2.3) N: 4.9 (4.2)	<sup>1</sup> H: 6.8 (1H), 6.95 (1H), 7.05 (1H), 7.7 (1H), 8.0 (1H), 8.9 (1H) <sup>19</sup> F: -63.3
1-i	C: 49.4 (49.3) H: 2.9 (2.8) N: 4.4 (4.4)	<sup>1</sup> H: 3.6 (3H), 6.3 (1H), 6.6 (1H), 7.7 (2H), 7.85 (1H), 7.95 (1H) <sup>19</sup> F: -63.2
1-ј	C: 47.4 (47.4) H: 2.0 (2.3) N: 4.6 (4.7)	<sup>1</sup> H: 6.7 (m), 7.1 (m), 7.5 (m), 7.6 (m), 7.7 (m), 8.0 (m), 8.2 (m) <sup>19</sup> F: 8 s 共鳴 (-63.063.6) and 8 ddd 共鳴 (-92.2125.5)
1-k	C: 43.5 (44.0) H: 1.8 (2.1) N: 8.5 (8.4)	<sup>1</sup> H: 6.9 (1H), 7.15 (1H), 8.1 (1H), 8.3 (1H), 8.45 (1H), 8.6 (1H) <sup>19</sup> F: -62.9
1-1	C: 42.2 (42.1) H: 16. (1.8) N: 3.8 (3.7)	<sup>1</sup> H: 6.5 (1H), 6.7 (1H), 7.75 (1H), 7.85 (1H), 8.0 (1H), 8.1 (1H) <sup>19</sup> F: -58.1 (1F), -63.4 (1F)

# [0079]

### (実施例3)

この実施例は、上述の第 2 化学式 I r L  $^a$  L  $^b$  L  $^c$   $_x$  L  $^o$   $_y$  L  $^o$   $^o$   $_z$  のイリジウム錯体の調製を例示するものである。

### [0800]

(化合物1-n)

4 時間 1 9 0 - 1 9 5 で、IrC 1 3 ・ n H 2 O( 5 4 % Ir: 5 1 0 m g)、 2 - ( 3 - トリフルオロメチルフェニル) - キノリン( 1 . 8 0 g)及びトリフルオロ酢酸銀( 1 . 1 0 g)の混合物を勢いよくかき混ぜた。結果として得た固体をジクロロメタンでシリカ上クロマトグラフィに付し、ジシクロメタレート化錯体と未反応配位子の混合物を生成した。温かいヘキサンでの抽出により、混合物から未反応配位子を除去した。抽出物が無色となった後、ヘキサン不溶性固体を収集し真空下で乾燥した。収量は、 0 . 2 9 gであった。 1 9 F NMR: - 6 3 . 5 ( s . 6 F)、 - 7 6 . 5 ( s . 3 F)。この錯体の構造を、単結晶 X 線回折研究により立証した。

### [0081]

(化合物 1 - o)

1 . 5 時間 1 9 0 で、 I r C 1 3 ・ n H 2 O ( 5 4 % I r : 5 0 0 m g )、 2 - ( 2 - フルオロフェニル) - 3 - クロロ - 5 - トリフルオロメチルピリジン( 2 . 2 2 g )、 水 ( 0 . 3 m L ) 及びトリフルオロ酢酸銀( 1 . 0 0 g ) の混合物を 1 . 5 時間 1 9 0 で 撹拌した。固体生成物を、ジクロロメタンでシリカ上クロマトグラフィに付して、ジシクロメタレート化アクアトリフルオロアセタト錯体、化合物 1 - p 及び未反応配位子の 2 : 1 の同時結晶化アダクツ 0 . 3 3 g を生成した。 <sup>1 9</sup> F N M R : - 6 3 . 0 ( 9 F )、 - 7 6 . 5 ( 3 F )、 - 8 7 . 7 ( 2 F )、 - 1 1 4 . 4 ( 1 F )。ジクロロメタン - へ キサンから再結晶化により、同時結晶化されたフェニルピリジン配位子を除去した。アダクツと錯体の構造を単結晶 X 線回折研究により立証した。

10

20

30

50

30

40

50

#### [0082]

(実施例4)

この実施例は、上述の構造(VIII)を有するヒドロキソイリジウム二量体の調製を例示している。

[0083]

 $Ircll_3$ ・ $nH_2$ O(54%Ir:510mg)、2-(4-7)ルオロフェニル)-5-トリフルオロメチルピリジン(725mg)、水(5mL)、及び2-Tトキシエタノール(20mL)の混合物を、4、5時間還流下で勢いよくかき混ぜた。水(5mL)中のNaOH(2.3g)溶液を添加し、その後20mLの水を添加した後、混合物を2時間還流下でかき混ぜた。混合物を室温まで冷却し、50mLの水で希釈し、濾過した。固体を、30mLの1,2-ジクロロエタン及びNaOH水(水8mL中2.2g)を用いた還流の下で6時間勢いよくかき混ぜた。混合物から有機溶剤を蒸発させて、水相中のオレンジ色の固体の懸濁液を残した。オレンジ色の固体を濾過により分離し、水で徹底的に洗浄し、真空下で乾燥させて、0.94g(95%)のイリジウムヒドロキソニ量体(分光的に純粋のもの)を生成した。1HN00円、1H00円、1H10円の 1H10円の 1

[0084]

(実施例5)

この実施例は、イリジウム二量体からのビス - シクロメタレート化錯体の調製を例示して いる。

[0085]

(化合物 1 - p)

実施例 4 からのイリジウムヒドロキソニ量体(100mg)アセト酢酸エチル(0.075 mL; 4 倍余剰)及びジクロロメタン(4 mL)の混合物を室温で一晩撹拌した。溶液を短かいシリカプラグを通して濾過し、蒸発させてオレンジ・黄色固体を得、これをヘキサンで洗浄して乾燥させた。錯体の収量は109mg(94%)であった。 <sup>1</sup> H NMR(CD<sub>2</sub> C1<sub>2</sub> ):1.1(t、CH<sub>3</sub> )、3.9(dm、CH<sub>2</sub> )、4.8(s、CH<sub>3</sub> COCH)、5.9(m)、6.7(m)、7.7(m)、8.0(m)、8.8(d). <sup>1 9</sup> F NMR(CD<sub>2</sub> C1<sub>2</sub> ):-63.1(s、3F)、-63.2(s、3F)、-109.1(ddd、1F)、-109.5(ddd).分析:計算値:C、44.9;H、2.6;N、3.3.

[0086]

(化合物 1 - w)

実施例 4 ( 0 . 2 0 g )からのヒドロキソイリジウム二量体のTHF(6mL)溶液を、5 0 m g のトリフルオロ酢酸で処理し、短かいシリカプラグを通して濾過し、計算上 0 . 5 m L まで蒸発させ、ヘキサン(8 m L )で処理し、一晩放置した。黄色結晶固体を分離し、ヘキサンで洗浄し、真空下で乾燥させた。収量(1:1 T H F 溶媒和物):0 . 2 4 g ( 9 6 %)。 <sup>1 9</sup> F NMR(C D 2 C 1 2 、 2 0 )、 : - 6 3 . 2 ( s 、 3 F)、 - 7 6 . 4 ( s 、 3 F)、 - 1 0 7 . 3 (d d d 、 1 F). <sup>1</sup> H NMR(C D 2 C 1 2 、 2 0 )、 : 9 . 2 (b r s 、 1 H)、8 . 2 (d d 、 1 H)、8 . 1 (d 、 1 H)、7 . 7 (m、1 H)、6 . 7 (m、1 H)、5 . 8 (d d 、1 H)、3 . 7 (m、2 H、T H F)、1 . 8 (m、2 H、T H F).

[0087]

(化合物1-x)

トリフルオロ酢酸中間物、化合物 1-w(7.5mg)及び 2-(4-ブロモフェニル)-5-ブロモピリジン(<math>1.30mg)を  $N_2$ 下で 1.50-150 で 3.0分間撹拌した。結果として得られた固体を室温まで冷却し、  $CH_2CI_2$ 中で溶解させた。結果として得た溶液をシリカゲルを通して濾過し蒸発させた。残渣を数回温かいヘキサンで洗浄し、真空

30

50

下で乾燥させて、黄色、黄色光ルミネセントの固体を残した。収量: 7.4 mg ( 8.6 % )。  $^{1.9} \text{ F} \text{ NMR}$  (  $\text{CD}_2 \text{ Cl}_2 \text{ 、} 2.0 \text{ )}、 : -6.3 . 1 (s、3 F)、 -6.3 . 3 (s、3 F)、 -1.0 8 . 8 (ddd、1 F)、 -1.0 9 . 1 (ddd、1 F) . <math>^{1} \text{ H}$  NMR (  $\text{CD}_2 \text{ Cl}_2 \text{ 、} 2.0 \text{ })$ 、 : 8.2 (s)、 7.9 (m)、 7.7 (m)、 7.0 (d)、 6.7 (m)、 6.2 (dd)、 6.0 (dd) . 錯体は、メリディオナル 錯体であり、フッ素化配位子の窒素は、 X 線分析によって確認された通りトランスであった。

# [ 0 0 8 8 ]

(実施例6)

この実施例は、上述の第 5 化学式 m e r - I r ( L  $^a$  )  $_3$  のイリジウム化合物の調製を例示するものである。

(化合物 1 - s)

[0089]

この錯体は、化合物1-nと類似の要領で合成された。NMR、TLC及びTGAデータによると、結果は、フェイシャル及びメリディオナル異性体のほぼ1:1の混合物であった。

# [0090]

(化合物 1 - t)

### [0091]

(化合物 1 - u)

この錯体を、化合物 1 - q と類似の形で調製及び単離させ、次に 1 , 2 ジクロロエタン・ヘキサンから結晶化により精製した。精製された生成物は 5 3 %であった。錯体は、N M R データから以下の通りmerである。 <sup>19</sup> F N M R ( C D 2 C 1 2 、 2 0 )、 : - 6 3 . 4 8 ( s 、 3 F ) 、 - 6 3 . 5 2 ( s 、 6 F ) 、 - 1 0 5 . 5 ( d d d 、 1 F ) 、 - 1 0 5 . 5 ( d d d 、 1 F ) 、 - 1 0 7 . 4 ( t 、 1 F ) 、 - 1 0 7 . 9 ( t 、 1 F ) 、 - 1 0 9 . 3 ( t 、 1 F ) . <sup>1</sup> H N M R ( C D 2 C 1 2 、 2 0 ) 、 : 8 . 6 ( m ) 、 8 . 3 ( s ) 、 8 . 2 ( s ) 、 8 . 1 ( m ) 、 7 . 9 ( m ) 、 7 . 6 ( m ) 、 6 . 6 ( m ) 、 6 . 4 ( m ) 、 6 . 0 ( m ) 、 5 . 8 ( m )

# [0092]

(化合物 1 - v)

).  $^1$  H NMR(CD  $_2$  Cl  $_2$  、  $_2$  O )、 : 8.3-7.6(m)、6.7(m)、6.6(d d)、6.3(d d)、6.0(d d)。この黄色 - ルミネセントメリディオナル錯体は、1気圧での昇華の時点で、緑色ルミネセントフェイシャル異性体つまり化合物 1 - b へと異性体化した。

[0093]

(実施例7)

この実施例は、本発明のイリジウム錯体を用いたOLEDの形成を例示している。

[0094]

熱蒸発技術を用いて、ホール輸送層(HT層)、エレクトロルミネセント層(EL層)及び少なくとも1つの電子輸送層(ET層)を含む薄膜OLEDデバイスを製造した。油拡散ポンプを伴うEdward Auto 306蒸発器を使用した。薄膜被着の全てについて基本真空は10<sup>~6</sup> torr の範囲内であった。被着チャンバは、真空を中断させる必要なく、5枚の異なる膜を被着する能力を有していた。

[0095]

約1000-2000 のITO層を有するインジウム錫酸化物(ITO)でコーティングされたガラス基板を使用した。第1の電極パターンを形成するため、INのHC1溶液で望まれないITO部域をエッチングして除去することにより、まず最初に基板をパターン化した。パターン化されたITO基板を次に、洗剤水溶液中で超音波洗浄した。その後、基板をまずは精製水で洗い流し、その後最高3時間、トルエン蒸気で脱脂した。

[0096]

清浄し、パターン化したITO基板を次に真空チャンバ内に装入し、チャンバを10<sup>・6</sup> torrまでポンプダウンした。次に、約5~10分間酸素プラズマを用いて、基板をさらに清浄した。清浄後、薄膜の多重層を熱蒸発により基板上に順次被着させた。最後に、A1のパターン化された金属電極をマスクを通して被着させた。水晶モニター(SyconSTC-200)を用いて、被着中、膜の厚みを測定した。実施例の中で報告されている全ての膜厚は、被着された材料の密度を1と仮定して計算された公称値である。完成したOLEDデバイスは次に真空チャンバから取出され、カプセル化せずに直ちに特徴づけされた。

[0097]

デバイス層及び厚みの要約が、表6に与えられている。全てのケースにおいて、陽極は、上述の通りITOであり、陰極は、700~760 の範囲内の厚みを有するA1であった。いくつかの標本において、2層の電子輸送層が使用された。最初に示された層は、EL層に隣接して塗布された。

[0098]

【表9】

20

表6

Alq<sub>3</sub>=トリス(8-ヒドロキシキノラト)アルミニウム DDPA=2,9-ジメチル-4,7-ジフェニル-1,10-フェナントロリン Ir(ppy)<sub>3</sub>=fac-トリス(2-フェニルピリジン)イリジウム MPMP=ビス[4·N,N-ジエチルアミン]-2-メチルフェニル](4-メチルフェニル)メタン

	/		
標本	HT 層 (厚み、Å単位)	EL 層 (厚み、Å単位)	ET 層 (厚みÅ単位)
比較例	MPMP (528)	Ir(ppy)3 (408)	DDPA (106) + Alq <sup>3</sup> (320)
1	MPMP (520)	化合物 <u>1-b</u> (499)	DDPA (125) + Alq <sup>3</sup> (365)
2	MPMP (541)	化合物 <u>1-b</u> (580)	DDPA (407)
3	MPMP (540)	化合物 <u>1-e</u> (499)	DDPA(112) + Alq <sup>3</sup> (340)
4	MPMP (525)	化合物 <u>1-k</u> (406)	DDPA (106) Alq <sup>3</sup> (341)
5	MPMP (570)	化合物 <u>1-I (</u> 441)	DDPA (107) + Alq <sup>3</sup> (339)
6	MPMP (545)	化合物 <u>1-j</u> (462)	DDPA (111) + Alq <sup>3</sup> (319)
7	MPMP (643)	化合物 <u>1-g</u> (409)	DDPA (112) + Alq <sup>3</sup> (361)
8	MPMP (539)	化合物 <u>1-f</u> (430)	DDPA (109) + Alq <sup>3</sup> (318)
9	MPMP (547)	化合物 <u>1-a (</u> 412)	DDPA (105) + Alq <sup>3</sup> (300)
10	MPMP (532)	化合物 <u>1-h (</u> 457)	DDPA (108) + Alq <sup>3</sup> (306)
11	MPMP (603)	化合物 <u>1-d (</u> 415)	DDPA (111) + Alq <sup>3</sup> (303)
12	MPMP (551)	化合物 <u>1-c (</u> 465)	DDPA (106) + Alq <sup>3</sup> (313)
13	MPMP (520)	化合物 <u>1-l</u> (405)	DDPA (410)

[ 0 0 9 9 ]

【表10】

10

20

30

-		表 6	
		(続き)	
標本	HT 層 (厚み、Å単位)	EL 層 (厚み、Å単位)	ET 層 (厚みÅ単位)
14	MPMP (504)	化合物 1-b (400)	DDPA (393)
15	MPMP (518)	化合物 <u>1-b</u> (153)	DDPA (418)
16	MPMP (556)	化合物 <u>1-m</u> (416)	DDPA (430)
17	MPMP (520)	化合物 <u>1-n</u> (419)	DDPA (420)
18	MPMP (511)	化合物 1-0 (412)	DDPA (413)
19	MPMP (527)	化合物 <u>1-p</u> (425)	DDPA (412)
20	MPMP (504)	化合物 <u>1-q</u> (417)	DPA (407)
21	MPMP (525)	化合物 <u>1-t</u> (419)	DPA (416)
22	MPMP (520)	化合物 <u>1-u</u> (421)	DPA (405)
i .		L	

[0100]

OLE D標本は、それらの(1)電流・電圧(I・V)曲線、(2)エレクトロルミネセンス放射輝度と電圧の関係、及び(3)エレクトロルミネセンススペクトルと電圧の関係を測定することにより特徴づけされた。使用された器具200は、図2に示されている。 OLE D標本200のI・V曲線を、Keithleyソース測定ユニット237型、280で測定された。エレクトロルミネセンス放射輝度(Cd/m²単位)と電圧の関係は、Keithley SMUを用いて電圧を走査する間にMinolta LS・110ルミネセンス計210を用いて測定された。エレクトロルミネセンススペクトルは、電子シャッタ240を通して一対のレンズ230を用いて集光することによって得られ、スペクトログラフ250を通して分散され、その後ダイオードアレイ検出器260で測定された。3回の測定は全て同時に行なわれ、コンピュータ270により制御された。或る電圧におけるデバイスの効率は、デバイスをランさせるのに必要とされる。単位はCd/Aである。

[0101]

結果は下表 7 に記されている:

[ 0 1 0 2 ]

【表11】

10

20

30

	イリジウム化省	<u>表7</u> 合物のエレクトロル	ミネセント特性	
標本	ピーク放射輝 度 Cd/m²	ピーク放射輝度に おける効率 Cd/A	ピーク効率 Cd/A	概算ピーク派 長 nm
比較例	540 at 22 V	0.39	0.48	522
1	1400 at 21 V	3.4	11	525
2	.1900 at 25 V	5.9	13	525
3	830 at 18 V	1.7	13.5	525
4	7.6 at 27 V	0.005	0.13	521
5	175 at 25 V	0.27	1.8	530, 563
6	514 at 20 V	1.5	2.2	560
7	800 at 26 V	0.57	1.9	514
8	1200 at 28 V	0.61	2	517
9	400 at 18 V	1.1	4	545
10	190 at 16 V	2.3	3.3	575
11	1150 at 25 V	1.2	3.8	506, 526
12	340 at 20 V	0.49	2.1	525
13	400 at 21 V	3	5	520
14	1900	5	9	525
15	2500	6	11	525
16	100 at 27 V	0.17	0.2	560
17	3.5 at 28 V	0.005	0.014	575
18	30 at 26 V	0.08	0.16	590

[ 0 1 0 3 ]

【表12】

10

20

30

表 7 (続き)				
標本	ピーク放射輝度 Cd/m <sup>2</sup>	ピーク放射輝度に おける効率 Cd/A	ピーク効率 Cd/A	概算ピーク波長 nm
19	2000 at 21 V	6	8	532
20	350 at 26 V	0.60	1.6	595
21	1200 at 22 V		5	545
22	80 at 19 V		1	540

20

# [0104]

ピーク効率は、デバイス内のエレクトロルミネセント化合物の値を最も良く示すものである。それは、一定数の光子を出すために(放射輝度)デバイス内にどれほどの電子を入力しなければならないかの尺度を与える。それは、発光材料の固有の効率を反映する根本的に重要な数値である。より高い効率は、同じ放射輝度を達成するためにより少ない電子と、実践的利用分野のためにもこれは重要である。より効率の高いデバイスは又、注入された電子が熱を発生するか又は望ましくない化学的副反応をひき起こす代りにより高い割合で光子に変換されることから、より長い寿命を有する傾向を有する。本発明のイリジウム錯体の大部分は、親fac-トリス(2-フェニルピリジン)イリジウム錯体に比べてはるかに高いピーク効率を有する。より低い効率を有する錯体も又、上述のように、リン光性又は光ルミネセント材料として又は触媒としての有用性を見い出すことができる。

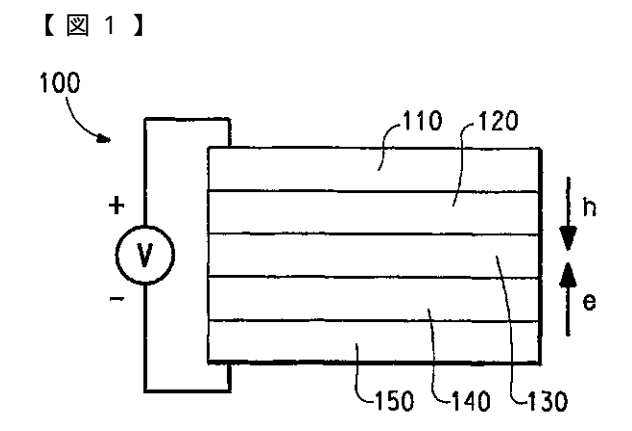
【図面の簡単な説明】

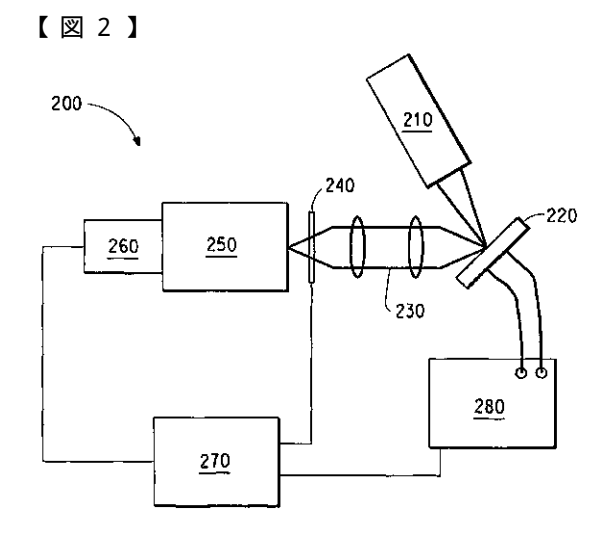
# 【図1】

発光デバイス(LED)の概略図である。

# 【図2】

LEDテスト器具の概略図である。





### 【国際公開パンフレット】

### (12) INTERNATIONAL APPLICATION PUBLISHED UNDER THE FATENT COOPERATION TREATY (PCT)

(19) World Intellectual Property Organization International Bureau



### TARA KARANTAN KARITAN MENDERIKAN DIA MENERANTAN MENERANTAN MENERANTAN MENERANTAN MENERANTAN MENERANTAN MENERAN

(43) International Publication Date 10 January 2002 (10.01.2002)

PCT

## WO 02/02714 A2

(51) International Patent Classification';

(21) International Application Number: PCT/US01/20539

(30) Priority Data: 60/215,362

60/224,273

(71) Applicant (for all designated States except US): E.I. DU PONT DE NEMOURS AND COMPANY (US/US); 1007 Market Street, Wilmington, DE 19898 (US).

CO9K 11/00 (74) Agent: WANG, Chen; E. I. Di Pont De Nemours And Company, Legal Patent Records Center, 1007 Market CT/US01/20539 Street, Wilmington, DE 19898 (US).

30 June 2000 130,08,2000 US
10 August 2000 (10.08,2000) US
KE, LS, MW, MZ, SD, SL, SZ, TZ, UG, ZW). Eurasian potent (AM, AZ, PY, SG, KZ, MD, RU, U, TAD). Furropean potent (AT, BE, CH, CY, DE, DK, ES, PI, PK, GB, GC, TL, UM, NL, PT, SE, TR). OAPI potent (BT, BJ, CF, CG, CJ, CM, GA, GN, GW, ML, MR, NE, SN, TD, TG).

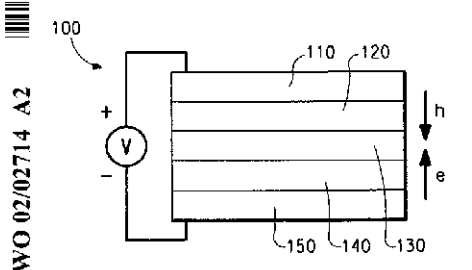
(72) Inventors; and (75) Inventors/Applicants (for US only): PETROV, Viacheslav, A. [RU/US]; 2 Cappa Court, Hockessin, DE 19707 (US), WANG, Ying 105/US]; 4010 Greatment Road, Wilmington, DE 19810 (US), GRUSHIN, Vladimir [CA/US]; 533 Runnymente Road, Hockessin, DE 19707 (US).

#### Published:

withous international search report and to be republished upon receipt of that report

For two-letter codes and other abbreviations, refer to the "Child-ance Notes on Codes and Abbreviations" appearing at the begin-ning of each regular issue of the PCF Gazette.

(\$4 Tide: ELECTROLUMINESCENT IRIDIUM COMPOUNDS WITH FLUORINATED PHENYLPYRIDINES, PRONYLPYRIMIDINES, AND PHENYLQUINGLINES AND DEVICES MADE WITH SUCH COMPOUNDS



(57) Abstract: The present invention is generally directed to electroluminate to triff. Compounds, the substituted 2-plent plycrifficus, pharylpyrinichies, and phenylpurionies that are used to make the Irtill compounds and devices that are made with the Irtill compounds.

PCT/US01/20539

#### TITLE

ELECTROLUMINESCENT IRIDIUM COMPOUNDS WITH FLUORINATED PHENYLPYRIDINES, PHENYLPYRIMIDINES, AND PHENYLQUINOLINES AND DEVICES MADE WITH SUCH COMPOUNDS

#### BACKGROUND OF THE INVENTION

#### Field of the Invention

This invention relates to electroluminescent complexes of iridium(III) with fluorinated phenylpyridines, phenylpyrimidines, and phenylquinolines. It also relates to electronic devices in which the active layer includes an

# electroluminescent Ir(III) complex. Description of the Related Art

Organic electronic devices that emit light, such as light-emitting diodes that make up displays, we present in many different kinds of electronic equipment. In all such devices, an organic active layer is sandwiched between two electrical contact layers. At least one of the electrical contact layers is light-transmitting so that light can pass through the electrical contact layer. The

two electrical contact layers. At least one of the electrical contact layers is light transmitting so that light can pass through the electrical contact layer. The organic active layer emits light through the light-transmitting electrical contact layer upon application of electricity across the electrical contact layers.

It is well known to use organic electroluminescent compounds as the

active component in light-emitting diodes. Simple organic molecules such as anthracene, thiadiazole derivatives, and coumarin derivatives are known to show electroluminescence. Semiconductive conjugated polymers have also been used as electroluminescent components, as has been disclosed in, for example, Friend et al., U.S. Patent 5,247,190, Heeger et al., U.S. Patent 5,408,109, and Nakano
 et al., Published European Patent Application 443 861. Complexes of
 8-hydroxyquinolate with trivalent metal ions, particularly aluminum, have been extensively used as electroluminescent components, as has been disclosed in, for example, Tang et al., U.S. Patent 5,552,678.

Burrows and Thompson have reported that fac-tris(2-phenylpyridine)

30 iridium can be used as the active component in organic light-emitting devices.

(Appl. Phys. Lett. 1999, 75, 4.) The performance is maximized when the iridium compound is present in a host conductive material. Thompson has further reported devices in which the active layer is poly(N-vinyl carbazole) doped with fac-tris[2-(4',5'-diffuorophenyl)pyridine-C'<sup>2</sup>,N]iridium(III). (Polymer Preprints 2000, 41(1), 770.)

However, there is a continuing need for electroluminescent compounds having improved efficiency.

PCT/US01/20539

#### SUMMARY OF THE INVENTION

The present invention is directed to an iridium compound (generally referred as "Ir(III) compounds") having at least two 2-phenylpyridine ligands in which there is at least one fluorine or fluorinated group on the ligand. The iridium 5 compound has the following First Formula:

 $IrL^a)_b L^c_{\ X} L_y L_z$ 

(First Formula)

where:

x = 0 or 1, y = 0, 1 or 2, and z = 0 or 1, with the provise that: x = 0 or y + z = 0 and

10 when y = 2 then z = 0;

L' = a bidentate ligand or a monodentate ligand, and is not a phenylpyridine, phenylpyrimidine, or phenylquinoline; with the proviso that:

when L' is a monodentate ligand, y+z=2, and

when L' is a bidentate ligand, z = 0;

 $L^{\eta}\equiv a$  monodentate ligand, and is not a phenylpyridine, and phenylpyrimidine, or phenylquinoline; and

La, Lb and Lc are alike or different from each other and each of La, Lb and Lo has structure (1) below:

20

25

15

$$R_7$$
 $R_8$ 
 $R_5$ 
 $R_5$ 
 $R_5$ 
 $R_4$ 
 $R_2$ 
 $R_3$ 
 $R_4$ 

wherein:

adjacent pairs of  $R_1\text{-}R_4$  and  $R_5\text{-}R_8$  can be joined to form a five- or six-membered ring,

at least one of  $R_1$ - $R_8$  is selected from F,  $C_nF_{2n+1}$ ,  $OC_nF_{2n+1}$ , and  $OCF_2X$ , where n=1--6 and X=H, CI, or Br, and

A = C or N, provided that when A = N, there is no  $R_f$ .

In another embodiment, the present invention is directed to substituted 30 2-phenylpyridine, phenylpyrimidine, and phenylquinoline precursor compounds from which the above Ir(III) compounds are made. The precursor compounds have a structure (II) or (III) below:

WO 02/02714 PCT/IIS01/20539

$$R_6$$
 $R_5$ 
 $R_5$ 
 $R_1$ 
 $R_2$ 
 $R_5$ 
 $R_5$ 
 $R_5$ 
 $R_1$ 
 $R_2$ 
 $R_5$ 
 $R_5$ 
 $R_5$ 
 $R_1$ 

where A and  $R_1$ - $R_8$  are as defined in structure (I) above, and R<sub>9</sub> is H.

5

where:

10

20

at least one of R<sub>10</sub>-R<sub>19</sub> is selected from F, C<sub>n</sub>F<sub>2n+1</sub>,  $OC_0F_{2n+1}$ , and  $OCF_2X$ , where n = 1-6 and X = H, Cl, or Br, and  $R_{20}$  is H.

It is understood that there is free rotation about the phonyl-pyridine, 15 phenyl-pyrimidine and the phenyl-quinoline bonds. However, for the discussion herein, the compounds will be described in terms of one orientation.

In another embodiment, the present invention is directed to an organic electronic device having at least one emitting layer comprising the above Ir(III) compound, or combinations of the above Ir(III) compounds.

As used herein, the term "compound" is intended to mean an electrically uncharged substance made up of molecules that further consist of atoms, wherein the atoms cannot be separated by physical means. The term "ligand" is intended to mean a molecule, ion, or atom that is attached to the coordination sphere of a metallic ion. The term "complex", when used as a noun, is intended to mean a 25 compound having at least one metallic ion and at least one ligand. The term "group" is intended to mean a part of a compound, such a substituent in an organic compound or a ligand in a complex. The term "facial" is intended to mean one isomer of a complex, Ma3b3, having octahedral geometry, in which the

10

PCT/US01/20539

three "a" groups are all adjacent, i.e. at the corners of one face of the octahedron. The term "meridional" is intended to mean one isomer of a complex, Ma<sub>3</sub>b<sub>3</sub>, having octahedral geometry, in which the three "a" groups occupy three positions such that two are trans to each other. The phrase "adjacent to," when used to refer to layers in a device, does not necessarily mean that one layer is immediately next to another layer. On the other hand, the phrase "adjacent R groups," is used to refer to R groups that are next to each other in a chemical formula (i.e., R groups that are on atoms joined by a bond). The term "photoactive" refers to any material that exhibits electroluminescence and/or photosensitivity.

DESCRIPTION OF THE DRAWINGS

Figure 1 is a schematic diagram of a light-emitting device (LED).
Figure 2 is a schematic diagram of an LED testing apparatus.

DETAILED DESCRIPTION OF THE PREFERRED EMBODIMENTS

 $\label{eq:The Ir(III) compounds of the invention have the First Formula} 15 \qquad Ir(III)L^aL^bL^o_xL^i_y \ above.$ 

The above Ir(III) compounds are frequently referred to as cyclometalated complexes: Ir(III) compounds having the following Second Formula is also frequently referred to as a bis-cyclometalated complex.:

 ${\rm 20} \hspace{1cm} {\rm Ir} L^a L^b L^c{}_y L^c{}_z \hspace{1cm} ({\rm Second \ Formula})$ 

where:

 $y,\,z,\,L^{\underline{a}},\,L^{\underline{b}},\!L^{\prime},$  and  $L^{\prime\prime}$  are as defined in the First Formula above.

In(III) compounds having the following Third Formula is also frequently referred to as a tris-cyclometalated complex.:

IrLaLbLc (Third Formula)

where:

 $L^a, L^b$  and  $L^c$  are as defined in the First Formula described above.

30

The preferred cyclometalated complexes are neutral and non-ionic, and can be sublimed intact. Thin films of these materials obtained via vacuum deposition exhibit good to excellent electroluminescent properties. Introduction of fluorine substituents into the ligands on the iridium atom increases both the stability and volatility of the complexes. As a result, vacuum deposition can be carried out at lower temperatures and decomposition of the complexes can be avoided. Introduction of fluorine substituents into the ligands can often reduce the non-radiative decay rate and the self-quenching phenomenon in the solid state.

20

PCT/US01/20539

These reductions can lead to enhanced luminescence efficiency. Variation of substituents with electron-donating and electron-withdrawing properties allows for fine-tuning of electroluminescent properties of the compound and hence optimization of the brightness and efficiency in an electroluminescent device.

It has been found that the electroluminescent properties of the cyclometalated iridium complexes are poorer when any one or more of the  $R_1\text{-}R_8$  and  $R_{10}\text{-}R_{19}$  groups is a nitro group. Therefore, it is preferred that none of the  $R_1\text{-}R_8$  and  $R_{10}\text{-}R_{19}$  groups is a nitro group.

The nitrogen-containing ring can be a pyridine ring, a pyrimidine or a quinoline. It is preferred that at least one fluorinated substituent is on the nitrogen-containing ring; most preferably CF<sub>3</sub>.

Any conventional ligands known to transition metal coordination chemistry is suitable as the L' and L" ligands. Examples of bidentate ligands include compounds having two coordinating groups, such as ethylenediamine and acetylacetomate, which may be substituted. Examples of monodentate ligands include chloride and nitrate ions and mono-amines. It is preferred that the iridium complex be neutral and sublimable. If a single bidentate ligand is used, it should have a net charge of minus one (-1). If two monodentate ligands are used, they should have a combined net charge of minus one (-1). The bis-cyclometalated complexes can be useful in preparing tris-cyclometalated complexes where the ligands are not all the same.

In a preferred embodiment, the iridium compound has the Third Formula  $IrL^aL^bL^c$  as described above.

PCT/IIS01/20539

In a more preferred embodiment,  $L^a = L^b = L^c$ . These more preferred compounds frequently exhibit a facial geometry, as determined by single crystal X-ray diffraction, in which the nitrogen atoms coordinated to the iridium are trans with respect to carbon atoms coordinated to the iridium. These more preferred compounds have the following Fourth Formula:

 $fac\text{-}Ir(L^a)_3$  (Fourth Formula) where  $L^a$  has structure (I) above.

10 The compounds can also exhibit a meridional geometry in which two of the nitrogen atoms coordinated to the iridium are trans to each other. These compounds have the following Fifth Formula:

mer-  $Ir(L^3)_3$  (Fifth Formula) where  $L^3$  has structure (I) above.

Examples of compounds of the Fourth Formula and Fifth Formula above are given in Table 1 below:

20

	TABLE I										
Comp ound	A	Rį	R <sub>2</sub>	R <sub>3</sub>	R <sub>4</sub>	R <sub>5</sub>	R <sub>6</sub>	R <sub>7</sub>	R <sub>8</sub>	Formula	
1-a	c	H	H	CF <sub>3</sub>	Н	Н	Н	H	Н	Fourth	
1-b	С	II	Н	CF <sub>3</sub>	H	н	H	F	H	Fourth	
1-c	_C	н	н	CF <sub>3</sub>	H	F	H	IR_	H	Fourth	
1-d	С	Н	Н	Н	H	F	H	Н	Ħ	Fourth	
1-e	С	Н	Н	CF <sub>3</sub>	Н	Н	CF <sub>3</sub>	H	H	Fourth	
1-f	С	Н	Ħ	H	н	H_	CF <sub>3</sub>	H	H	Fourth	
1-g	С	н	Н	H	н	н	H	[ F	H	Fourth	
1-h	С	CI	H	CF <sub>3</sub>	H	н	H	H	Н	Fourth	
1-i	С	H	H	CF <sub>3</sub>	Н	) н	Н	OCH <sub>3</sub>	Н	Fourth	
1-j	С	Н	H	CF <sub>3</sub>	н	H	F	Н	Ħ	Fourth	
1-k	С	н	H	$NO_2$	H	H	CF <sub>3</sub>	H	Н	Fourth	
1-1	С	} H	Н	CF <sub>3</sub>	H	Н	Н	OCF <sub>3</sub>	Н	Fourth	
1-m	N	}	CF <sub>3</sub>	H	H	H	Н	F	Н	Fourth	
l-g	С	H	H	CF <sub>3</sub>	H	Н	ОСН₃	H	Н	Fourth	

### PCT/US01/20539

				•	TABL	E1				
Comp ound	A	$R_i$	R <sub>2</sub>	R <sub>3</sub>	R <sub>4</sub>	Ř5	R <sub>6</sub>	R <sub>7</sub>	R <sub>8</sub>	Formula
l-r	С	H	QCH <sub>3</sub>	H	н	Н	H	CF <sub>3</sub>	H	Fourth
1-s	С	н	H	H	H	F	H	F	H	Fourth and Fifth
1-t	С	Н	Н	CF <sub>3</sub>	Н	IJ	F	H	F	Fifth
l-u	С	Н	<u>H</u>	CF <sub>3</sub>	Н	F	Н	F	н	Fifth
1-v	С	н	н	CF <sub>3</sub>	Н	Н	H	F	И	Fifth

Examples compounds of the Second Formula  $IrL^aL^bL_yL^{\prime\prime}_z$  above include compounds 1-n, 1-n, 1-n, 1-w and 1-x, respectively having structure (IV), (V), (VI), (IX) and (X) below:

$$\begin{array}{c|c} & & & \\ & & \\ & & & \\ & & & \\ & & & \\ & & & \\ & & & \\ & & \\ & & & \\ & & & \\ & & & \\ & & & \\ &$$

WO 02/02714 PCT/IIS01/20539

$$CH_3$$
 $CC_2H_5$ 
 $CC_3$ 
 $CC_2H_5$ 

5 (IX)

10 (X)

The iridium complexes of the Third Formula  $IrL^aL^bL^c$  above are generally prepared from the appropriate substituted 2-pheaylpyridine, phenylpyrimidine, or

PCT/IIS01/20539

WO 02/02714

phenylquinoline. The substituted 2-phenylpyridines, phenylpyrimidines, and phenylquinolines, as shown in Structure (II) above, are prepared, in good to excellent yield, using the Suzuki coupling of the substituted 2-chloropyridine, 2-chloropyrimidine or 2-chloroquinoline with arylboronic acid as described in O. Lohse, P.Thevenin, E. Waldvogel Synlett, 1999, 45-48. This reaction is illustrated for the pyridine derivative, where X and Y represent substituents, in Equation (1) below:

$$X \xrightarrow{\text{(HO)}_2 B} Y \xrightarrow{\text{[Pd]}} X \qquad (1)$$

10

 $Examples of 2-phenylpyridine \ and \ 2-phenylpyrimidine \ compounds, having structure (II) above, are given in Table 2 below:$ 

				TA	BLE 2					
Compound	A	Rt	$R_2$	R <sub>3</sub>	R <sub>4</sub>	R <sub>5</sub>	R <sub>6</sub>	R <sub>7</sub>	Rg	Ro
2-a	c	Н	Н	CF <sub>3</sub>	н	F	Н	н	Н	Н
2-ь	<u> </u> c	H	н	CF <sub>3</sub>	Н	н	CF3	н	н	н
2-0	c	Н	Н	NO <sub>2</sub>	53	н	CF3	И	Ħ	Ħ
2-d	C	Н	Н	CF3	н	13	F	Н	11	Н
2-e	c	Н	н	CF3	H	н	н	СН3О	H	н
2-f	c	C!	н	CF <sub>3</sub>	H	H	н	н	н	н
2-g	[c	н	Н	H	CH <sub>3</sub>	В	н	P	H	н
2-h	N		Н	H	н	В	н	F	₽I	H
2-i	c	Н	II	CF <sub>3</sub>	13	H	H	CF <sub>3</sub> O	н	11
2-j	N	~-	CF3	н	н	F	Н	Н	н	Н
2-k	c	Н	Н	CF3	Ħ	H	н	F	H	H
2-1	[ c	CF <sub>3</sub>	Н	H	н	н	н	н	H	Н
2-m	c	CI	H	CF <sub>3</sub>	н	н	H	F	H	11
2-n	c	CF <sub>3</sub>	Н	н	Н	н	Н	F	Н	Э
2-0	C	CF <sub>3</sub>	Н	Н	H	н	н	CH <sub>3</sub> O	Н	Н
2-p	С	Cl	н	CF3	н	В	н	CH <sub>3</sub> O	14	H

PCT/US01/20539

#### WO 02/02714

				T/	BLE 2					
Compound	A	R <sub>1</sub>	R <sub>2</sub>	$R_3$	$R_4$	R <sub>5</sub>	R.6	R <sub>7</sub>	Rg	Rg
2-q	N		CF <sub>3</sub>	Н	H	н	н	F	H	H
2-r	c	Cŧ	н	CF <sub>3</sub>	Н	н	в	н	Н	F
2-s	c	H	Н	CF <sub>3</sub>	н	н	] H	Н	Н	н
2-t	c	CI	Н	н	H	F	Ħ	н	H	н
2-v	c	Н	н	CF <sub>3</sub>	Н	н	CH <sub>3</sub> O	н	н	H
2-w	С	Н	CH <sub>3</sub> O	Н	Н	Н	Н	CP3	H	Ħ
2-x	c	н	H	н	H	Н	F	F	Н	H
2-y	∫ c	H	Ħ	CF3	Н	н	F	В	F	Н
2-z	c	H	н	CP <sub>3</sub>	H	F	н	F	Н	Н
2-ea	l c	н	H	Br	н	14	н	Br	Ħ	н

One example of a substituted 2-phenylquinoline compound, having structure (III) above, is compound  $\underline{\text{2-u}}$ , which has  $R_{17}$  = CF3 and  $R_{10}$ - $R_{16}$  and  $R_{19}$ - $R_{20}$  = H.

The 2-phenylpyridines, pyrimidines, and quinotines thus prepared are used for the synthesis of the cyclometalated iridium complexes. A convenient one-step method has been developed employing commercially available iridium trichloride hydrate and silver trifluoroacetate. The reactions are generally carried out with an excess of 2-phenylpyridine, pyrimidine, or quinoline, without a solvent, in the presence of 3 equivalents of AgOCOCF<sub>3</sub>. This reaction is illustrated for a 2-phenylpyridine in Equation (2) below:

15 The tris-cyclometalated iridium complexes were isolated, purified, and fully characterized by elemental analysis, <sup>1</sup>H and <sup>19</sup>F NMR spectral data, and, for compounds <u>1-b</u>, <u>1-c</u>, and <u>1-e</u>, single crystal X-ray diffraction. In some cases, mixtures of isomers are obtained. Often the mixture can be used without isolating the individual isomers.

PCT/US01/20539

The iridium complexes having the Second Formula IrLaLbL', yL'', z above, may, in some cases, be isolated from the reaction mixture using the same synthetic procedures as preparing those having Third Formula IrLaLbLe above.

The complexes can also be prepared by first preparing an intermediate iridium dimer having structure VII below:

10 wherein:

B = H,  $CH_3$ , or  $C_2H_5$ , and

 $L^a, L^b, L^c$ , and  $L^d$  can be the same or different from each other and each of  $L^a, L^b, L^c$ , and  $L^d$  has structure (I) above.

The iridium dimers can generally be prepared by first reacting iridium trichloride bydrate with the 2-phenylpyridine, phenylpyrimidine or phenylquinoline, and adding NaOB.

One particularly useful iridium dimer is the hydroxo iridium dimer, having structure VIII below:

20

This intermediate can be used to prepare compound  $\underline{1}$ - $\underline{p}$  by the addition of ethyl acctoacetate.

#### Electronic Device

The present invention also relates to an electronic device comprising at least one photoactive layer positioned between two electrical contact layers, wherein the at least one layer of the device includes the iridium complex of the invention. Devicesfrequently have additional hole transport and electron transport layers. A typical structure is shown in Figure 1. The device 100 has an anode layer 110 and a cathode layer 150. Adjacent to the anode is a layer 120

35

PCT/US01/20539

comprising hole transport material. Adjacent to the cathode is a layer 140 comprising an electron transport material. Between the hole transport layer and the electron transport layer is the photoactive layer 130.

Depending upon the application of the device 100, the photoactive layer

130 can be a light-emitting layer that is activated by an applied voltage (such as in
a light-emitting diode or light-emitting electrochemical cell), a layer of material
that responds to radiant energy and generates a signal with or without an applied
bias voltage (such as in a photodetector). Examples of photodetectors include
photoconductive cells, photoresistors, photoswitches, phototrunsistors, and
photocubes, and photovoltaic cells, as these terms are describe in Markus, John,
Electronics and Nucleonics Dictionary, 470 and 476 (McGraw-Hill, Inc. 1966).

The iridium compounds of the invention are particularly useful as the photoactive material in layer 130, or as electron transport material in layer 140. Preferably the iridium complexes of the invention are used as the light-emitting material in diodes. It has been found that in these applications, the fluorinated compounds of the invention do not need to be in a solid matrix diluent in order to be effective. A layer that is greater than 20% by weight iridium compound, based on the total weight of the layer, up to 100% iridium compound, can be used as the emitting layer. This is in contrast to the non-fluorinated iridium compound, 20 tris(2-phenylpyridine) iridium (III), which was found to achieve maximum efficiency when present in an amount of only 6-8% by weight in the emitting layer. This was necessary to reduce the self-quenching effect. Additional materials can be present in the emitting layer with the iridium compound. For example, a fluorescent dye may be present to alter the color of emission. A diluent may also be added. The diluent can be a polymeric material, such as poly(N-vinyl carbazole) and polysilane. It can also be a small molecule, such as 4,4'-N,N'-dicarbazole biphonyl or tertiary aromatic amines. When a diluent is used, the iridium compound is generally present in a small amount, usually less than 20% by weight, preferably less than 10% by weight, based on the total weight of the layer.

In some cases the iridium complexes may be present in more than one isomeric form, or mixtures of different complexes may be present. It will be understood that in the above discussion of OLEDs, the term "the iridium compound" is intended to encompass mixtures of compounds and/or isomers.

To achieve a high efficiency LED, the HOMO (highest occupied molecular orbital) of the hole transport material should align with the work function of the anode, the LUMO (lowest un-occupied molecular orbital) of the electron transport material should align with the work function of the cathode.

PCT/US01/20539

Chemical compatibility and sublimation temp of the materials are also important considerations in selecting the electron and hole transport materials.

The other layers in the OLED can be made of any materials which are known to be useful in such layers. The anode 110, is an electrode that is

5 particularly efficient for injecting positive charge carriers. It can be made of, for example materials containing a metal, mixed metal, alloy, metal oxide or mixed-metal oxide, or it can be a conducting polymer. Suitable metals include the Group 11 metals, the metals in Groups 4, 5, and 6, and the Group 8-10 transition metals. If the anode is to be light-transmitting, mixed-metal oxides of Groups 12, 13 and 14 metals, such as indium-tin-oxide, are generally used. The IUPAC numbering system is used throughout, where the groups from the Periodic Table are numbered from left to right as 1-18 (CRC Handbook of Chemistry and Physics, 81st Edition, 2000). The anode 110 may also comprise an organic material such as polyamiline as described in "Flexible light-emitting diodes made from soluble conducting polymer," Nature vol. 357, pp 477-479 (11 June 1992). At least one of the anode and cathode should be at least partially transparent to allow the generated light to be observed.

Examples of hole transport materials for layer 120 have been summarized for example, in Kirk-Othmer Encyclopedia of Chemical Technology, Fourth Edition, Vol. 18, p. 837-860, 1996, by Y. Wang. Both hole transporting molecules and polymers can be used. Commonly used hole transporting molecules are: N,N'-diphenyl-N,N'-bis(3-methylphenyl)-[1,1'-biphenyl]-4,4'diamine (TPD), 1,1-bis[(di-4-tolylamino) phenyl]cyclohexane (TAPC), N.N.-bis(4-methylphenyl)-N.N.-bis(4-ethylphenyl)-[1,1-(3,3-dimethyl)biphenyl]-4,4'-diamine (ETPD), tetrakis-(3-methylphenyl)-N,N,N',N'-2,5-phenylenediamine (PDA), a-phenyl-4-N,N-diphenylaminostyrene (TPS), p-(diethylamino)benzaldehyde diphenylhydrazone (DEH), triphenylamine (TPA), bis[4-(N,Ndiethylamino)-2-methylphenyl)(4-methylphenyl)methane (MPMP), 1-phenyl-3-[p-(diethylamino)styryl]-5-[p-(diethylamino)phenyl] pyrazoline (PPR or DEASP), 1,2-trans-bis(9H-carbazol-9-yl)cyclobutane (DCZB), N,N,N',N'-tetrakis(4-methylphenyl)-(1,1'-biphenyl)-4,4'-diamine (TTB), and porphyrinic compounds, such as copper phthalocyanine. Commonly used hole transporting polymers are polyvinylcarbazole, (phenylmethyl)polysilane, and polyaniline. It is also possible to obtain hole transporting polymers by doping hole transporting molecules such as those mentioned above into polymers such as polystyrene and polycarbonate.

Examples of electron transport materials for layer 140 include metal chelated oxinoid compounds, such as tris(8-hydroxyquinolato)aluminum (Alq<sub>3</sub>); phenanthroline-based compounds, such as 2,9-dimethyl-4,7-diphenyl-1,10-

PCT/US01/20539

(51)

phenanthroline (DDPA) or 4,7-diphenyl-1,10-phenanthroline (DPA), and azole compounds such as 2-(4-biphenylyl)-5-(4-t-butylphenyl)-1,3,4-oxadiazole (PBD) and 3-(4-biphenylyl)-4-phenyl-5-(4-t-butylphenyl)-1,2,4-triazole (TAZ). Layer 140 can function both to facilitate electron transport, and also serve as a buffer layer or confinement layer to prevent quenching of the exciton at layer interfaces. Preferably, this layer promotes electron mobility and reduces exciton quenching.

The cathode 150, is an electrode that is particularly efficient for injecting electrons or negative charge carriers. The cathode can be any metal or nonmetal having a lower work function than the anode. Materials for the cathode can be selected from alkali metals of Group 1 (e.g., Li, Cs), the Group 2 (alkaline earth) metals, the Group 12 metals, including the rare earth elements and lanthanides, and the actinides. Materials such as aluminum, indium, calcium, barium, samarium and magnesium, as well as combinations, can be used. Li-containing organometallic compounds can also be deposited between the organic layer and the cathode layer to lower the operating voltage.

It is known to have other layers in organic electronic devices. For example, there can be a layer (not shown) between the conductive polymer layer 120 and the active layer 130 to facilitate positive charge transport and/or band-gap matching of the layers, or to function as a protective layer. Similarly, there can be additional layers (not shown) between the active layer 130 and the cathode layer 150 to facilitate negative charge transport and/or band-gap matching between the layers, or to function as a protective layer. Layers that are known in the art can be used. In addition, any of the above-described layers can be made of two or more layers. Alternatively, some or all of inorganic anode layer 110, the conductive polymer layer 120, the active layer 130, and cathode layer 150, may be surface treated to increase charge carrier transport efficiency. The choice of materials for each of the component layers is preferably determined by balancing the goals of providing a device with high device efficiency.

. It is understood that each functional layer may be made up of more than 30 — one layer.

The device can be prepared by sequentially vapor depositing the individual layers on a suitable substrate. Substrates such as glass and polymeric films can be used. Conventional vapor deposition techniques can be used, such as thermal evaporation, chemical vapor deposition, and the like. Alternatively, the organic layers can be coated from solutions or dispersions in suitable solvents, using any conventional coating technique. In general, the different layers will have the following range of thicknesses: anode 110, 500-5000Å, preferably 1000-2000Å; hole transport layer 120, 50-1000Å, preferably 200-800Å; light-emitting layer

WO 02/02714 PCT/US01/20539

130, 10-1000 Å, preferably 100-800Å; electron transport layer 140, 50-1000Å, preferably 200-800Å; cathode 150, 200-10000Å, preferably 300-5000Å. The location of the electron-hole recombination zone in the device, and thus the emission spectrum of the device, can be affected by the relative thickness of each 5 layer. Thus the thickness of the electron-transport layer should be chosen so that the electron-hole recombination zone is in the light-emitting layer. The desired ratio of layer thicknesses will depend on the exact nature of the materials used.

It is understood that the efficiency of devices made with the iridium compounds of the invention, can be further improved by optimizing the other layers in the device. For example, more efficient cathodes such as Ca, Ba or LiF can be used. Shaped substrates and novel hole transport materials that result in a reduction in operating voltage or increase quantum efficiency are also applicable. Additional layers can also be added to tailor the energy levels of the various layers and facilitate electroluminescence.

The iridium complexes of the invention often are phosphorescent and photoluminescent and may be useful in applications other than OLEDs. For example, organometallic complexes of iridium have been used as oxygen sensitive indicators, as phosphorescent indicators in bioassays, and as catalysts. The bis cyclometalated complexes can be used to sythesize tris cyclometalated 20 complexes where the third ligand is the same or different.

15

25

#### EXAMPLES

The following examples illustrate certain features and advantages of the present invention. They are intended to be illustrative of the invention, but not limiting. All percentages are by weight, unless otherwise indicated.

#### EXAMPLE 1

This example illustrates the preparation of the 2-phenylpyridines and 2-phenylpyrimidines which are used to form the iridium compounds.

The general procedure used was described in O. Lohse, P. Thevenin, E. Waldvogel Synlett, 1999, 45-48. In a typical experiment, a mixture of 200 ml of degassed water, 20 g of potassium carbonate, 150 ml of 1,2-dimethoxyethane,  $0.5~\mathrm{g}$  of  $\mathrm{Pd}(\mathrm{PPh}_3)_4,\,0.05~\mathrm{mol}$  of a substituted 2-chloropyridine (quinoline or pyrimidine) and 0.05 mol of a substituted phenylboronic acid was refluxed (80-90°C) for 16-30 h. The resulting reaction mixture was diluted with 300 ml of water and extracted with CH2Cl2 (2 x 100 ml). The combined organic layers were dried over  $\mathrm{MgSO}_4$ , and the solvent removed by vacuum. The liquid products were purified by fractional vacuum distillation. The solid materials were recrystallized from hexage. The typical purity of isolated materials was >98%.

PCT/US01/20539

The starting materials, yields, melting and boiling points of the new materials are given in Table 3. NMR data and analytical data are given in Table 4.

TABLE 3
Preparation of 2-Phenyl Pyridines, Phenylpyrimidines and Phenylquinolines

Compound	Yield in %	B.p./ mm Hg (m.p.) in °C
2-8	70	
2-a	72	
2-ь	48	
2-u	75	(76-78)
2-c	41	(95-96)
2-d	38	(39-40)
2-e	55	74.5/0.1
2-g	86	71-73/0.07
2-t	65	77-78/0.046
2-k	50	(38-40)
2-m	80	72-73/0.01
2-f	22	52-33/0.12
2-v	63	95~96/13
2-w	72	
2-x	35	61-62/0,095
2-у	62	(68-70)
2-2	42	66-67/0.06 (58-60)
2-aa	60	

PCT/IIS01/20539

<u>TABLE 4</u>

<u>Properties of 2-Phenyl Pyridines, Phenylpyrimidines and Phenylquinolines</u>

			Analysis %, found (calc.)
Compound	<sup>1</sup> H NMR	<sup>19</sup> F NMR	or MS (M <sup>+</sup> )
2-s	7.48(3H), 7.70(1H),	-62.68	C,64.50 (64.57)
	7.83(1H),		H,3.49
	7.90(2H), 8.75(1H)		(3.59) N.6.07
	0.75(111)		(6.28)
2-a	7.19(1H),	-60.82 (3F,s),	C,59.56
	7.30(1H),	-116.96 (1F, m)	(59.75)
	7.43(1H), 7.98(2H),		H,3.19 (2.90)
	8.07 (1H)		N, 5.52
	9.00(1H)		(5.81)
2-b	7.58(1H),	-62.75 (3F,s),	C, 53.68
	7.66(1H),	-63.10 (3F, s)	(53.60)
	7.88(1H), 8.03(1H),		Ĥ, 2.6Î (2.40)
	8.23(1H),		N, 4.53
	8.35 (1H)		(4.81)
	8.99(1H)		
2-u	7.55(1H),	-62.89 (s)	C, 69.17
	7.63(1H),		(70.33) H. 3.79
	7.75(2H), 7.89(2H),		(3.66)
	8.28(2H),		N, 4.88
	8.38(1H),		(5.12)
	8.50 (IH)		·
2-c	7.53(1H),	-62.14 (s)	C, 53.83 (53.73)
	7.64(1H), 7.90(1H),		H, 2.89 (2.61)
	8.18(1H),		N. 9.99
	8.30(1H),		(10.44)
	8.53(1H),		
0.1	9.43(1H)	(0.50 (0.5 )	0.70.73
2-4	7.06(1H), 7.48(1H),	-62.78 (3F, s),	C, 59.73 (59.75)
	7.81(3H),	-112.61	H.2.86
	8.01(1H),	(1F,m)	(2.90)
	8.95(1H),		N, 5.70
			(5.81)

PCT/US01/20539

TABLE 4 (continued)

		(continued)	
Compound	<sup>1</sup> H NMR	<sup>19</sup> F NMR	Analysis %, found (calc.) or MS (M <sup>+</sup> )
2-e	3.80(3H) 6.93(2H), 7.68(1H), 7.85(1H), 7.96(2H), 8.82(1H),	-62.63 (s)	C, 61.66 (61.90) H, 3.95 (4.04) N, 5.53 (5.38)
2-g	2.70(3H) 7.10(3H), 7.48(1H), 7.60(1H), 8.05(2H),	-114.03 (m)	C, 76.56 (77.00) H,5.12 (5.30) N, 5.43 (7.50)
2-t	7.10(2H), 7.35(2H), 7.96(1H), 8.78(1H),	-62.73 (3F, s) -113.67 (1F, m)	C, 50,51 (52,17) H,1.97 (2,17) N, 5.09 (5.07)
2-k	7.08(2H), 7.62(1H), 7.90(3H), 8.80(1H),	-62.75 (3F,s) -111.49 ( m)	C, 60.39 (59.75), H,3.38 (2.90), N, 5.53 (5.51)
2-m	7.10(2H), 7.80(2H), 8.00(1H), 8.75(1H),	-62.63 (3F,s) -111.24 (m)	C, 52.13 (52.17) H.2.16 (2.17) N, 4.85 (5.07)
2-f	7.55(3H), 7.77(2H), 8.06(1H), 8.87(1H)	-62.57(s)	257(M <sup>+</sup> , C <sub>12</sub> H <sub>7</sub> F <sub>3</sub> CIN <sup>+</sup> ), 222(M-Cl)
2-ν	3.8(3H), 6.95(1H), 7.30(1H), 7.50(1H), 7.58(1H), 7.75(1H), 7.90(1H), 8.87(1H)	-62.70 ppm	С, 61.66 (61.37), Н, 3.98 (3.67), N,5.53 (5.48)

PCT/US01/20539

TABLE 4 (continued)

	leron en	Man en	Analysis %, found (calc.)
Compound	<sup>1</sup> H NMR	19F NMR	or MS (M <sup>+</sup> )
2-w	8.54 (1H, d),	-63.08 (3F, s)	
	8.21 (2H, d),		
	7.70 (2H, d),		
	7.24 (IH, s),		
	6.82 (1H, dd),		
	3.91 (3H, s)		
2-x	6.9 (2H, m),	-109.70 (1F, m),	
	7.18 (2H,m),	-113.35(1F, m).	
	7.68 (2H, m),		
	7.95(1H, m).		
	8.65(1H, m);		
2-y	6.94(1H),	-62.72 (3F, s),	
-	7.62(2H),	-109.11 (2F, m)	
	7.82(1H),		
	8.03(1H),		
	8.96(1H);		
2-z	6.85(1H),	-62.80 (3F, s),	
	6.93(1H),	-107.65 (IF, m),	
	7.80, 7.90,	-112.45(1F, m).	
	8.05(3H),		
	8.89(1H);		
	,,		
2-aa	7.70(3H,m),		
	7.85(3H, m),		
	7.80, 7.90,		
	8.85(1H,m).		
	0.00(111,01).		

#### EXAMPLE 2

This example illustrates the preparation of iridium compounds of the Fourth Formula  $\mathit{fac}\text{-Ir}(L^a)_3$  above.

In a typical experiment, a mixture of IrCl<sub>3</sub>·nH<sub>2</sub>O (53-55% Ir), AgOCOCF<sub>3</sub>
(3.1 equivalents per Ir), 2-atylpyridine (excess), and (optionally) a small amount of water was vigorously stirred under N<sub>2</sub> at 180-195°C (oil bath) for 2-8 hours. The resulting mixture was thoroughly extracted with CH<sub>2</sub>Cl<sub>2</sub> until the extracts were colorless. The extracts were filtered through a silica column to produce a clear yellow solution. Evaporation of this solution gave a residue which was treated with methanol to produce colored crystalline tris-cyclometalated Ir complexes. The complexes were separated by filtration, washed with methanol, dried under vacuum, and (optionally) purified by crystallization, vacuum

PCT/US01/20539

sublimation, or Soxhlet extraction. Yields: 10-82%. All materials were characterized by NMR spectroscopic data and elemental analysis, and the results are given in Table 5 below. Single-crystal X-ray structures were obtained for three complexes of the series.

#### 5 Compound 1-b

A mixture of IrCl<sub>3</sub>·nH<sub>2</sub>O (54% Ir; 508 mg), 2-(4-fluorophenyl)-5-triffuoromethylpyridine, compound kk (2.20 g), AgOCOCF<sub>3</sub> (1.01 g), and water (1 mL) was vigorously stirred under a flow of N<sub>2</sub> as the temperature was slowly (30 min) brought up to 185°C (oil bath). After 2 hours at 185-190°C the mixture solidified. The mixture was cooled down to room temperature. The solids were extracted with dichloromethane until the extracts decolorized. The combined dichloromethane solutions were filtered through a short silica column and evaporated. After methanol (50 mL) was added to the residue the flask was kept at -10°C overnight. The yellow precipitate of the tris-cyclometalated complex, compound b, was separated, washed with methanol, and dried under vacuum. Yield: 1.07 g (82%). X-Ray quality crystals of the complex were obtained by slowly cooling its warm solution in 1,2-dichloroethane.

A mixture of IrCl<sub>3</sub>·nH<sub>2</sub>O (54% Ir; 504 mg), 2-(3-trifluoromethylphenyl)5-trifluoromethylpyridine, compound bb (1.60 g), and AgOCOCF<sub>3</sub> (1.01 g) was vigorously stirred under a flow of N<sub>2</sub> as the temperature was slowly (15 min) brought up to 192°C (oil bath). After 6 hours at 190-195°C the mixture solidified The mixture was cooled down to room temperature. The solids were placed on a silica column which was then washed with a large quantity of dichloromethane.

The residue after evaporation of the filtrate was treated with methanol to produce yellow solid. The solid was collected and purified by extraction with dichloromethane in a 25-mL micro-Soxhlet extractor. The yellow precipitate of the tris-cyclometalated complex, compound e, was separated, washed with methanol, and dried under vacuum. Yield: 0.59 g (39%). X-Ray quality crystals of the complex were obtained from hot 1,2-dichloroethane.

#### Compound 1-d

A mixture of IrCl<sub>3</sub>-nH<sub>2</sub>O (54% Ir; 508 mg), 2-(2-fluorophenyl)-5trifluoromethylpyridine, compound aa (1.53 g), and AgOCOCF<sub>3</sub> (1.01 g) was vigorously stirred under a flow of N<sub>2</sub> at 190-195°C (oil bath) for 6 h 15 min. The mixture was cooled down to room temperature and then extracted with hot 1,2-dichloroethane. The extracts were filtered through a short silica column and evaporated. Treatment of the residue with methanol (20 mL) resulted in precipitation of the desired product, compound d, which was separated by

PCT/US01/20539

filtration, washed with methanol, and dried under vacuum. Yield: 0.63 g (49%). X-Ray quality crystals of the complex were obtained from dichloromethane / methanol.

#### Compound 1-i

A mixture of IrCl<sub>3</sub>·nH<sub>2</sub>O (54% Ir; 503 mg), 2-(4-trifluoromethoxyphenyl)-5-triffuoromethylpyridine, compound ee (2.00 g), and AgOCOCF $_3$  (1.10 g) was vigorously stirred under a flow of  $N_2$  at 190-195°C (oil bath) for 2 h 45 min. The mixture was cooled down to room temperature and then extracted with dichloromethane. The extracts were filtered through a short silica column and 10 evaporated. Treatment of the residue with methanol (20 mL) resulted in precipitation of the desired product, compound i, which was separated by filtration, washed with methanol, and dried under vacuum. The yield was  $0.86~\mathrm{g}$ . Additionally, 0.27 g of the complex was obtained by evaporating the mother liquor and adding petroleum ether to the residue. Overall yield: 1.13 g (72%). 15 Compound 1-q

A mixture of  $IrCl_3 \cdot nH_2O$  (54% Ir; 530 mg), 2-(3-methoxyphenyl)-5trifluoromethylpyridine (2.50 g), AgOCOCF3 (1.12 g), and water (1 mL) was vigorously stirred under a flow of N2 as the temperature was slowly (30 min) brought up to 185  $^{\circ}\mathrm{C}$  (oil bath). After 1 hour at 185  $^{\circ}\mathrm{C}$  the mixture solidified. 20 The mixture was cooled down to room temperature. The solids were extracted with dichloromethane until the extracts decolorized. The combined dichloromethane solutions were filtered through a short silica column and evaporated. The residue was washed with hexanes and then recrystallized from 1,2-dichloroethane - hexanes (twice). Yield: 0.30 g. 19F NMR (CD<sub>2</sub>Cl<sub>2</sub>, 20 °C), 25  $\delta$ : -63 (s). <sup>1</sup>H NMR (CD<sub>2</sub>Cl<sub>2</sub>, 20 °C),  $\delta$ : 8.1 (1H), 7.9 (1H), 7.8 (1H), 7.4 (1H), 6.6 (2H), 4.8 (3H). X-Ray quality crystals of the complex (1,2-dichloroethane, hexane solvate) were obtained from 1,2-dichloroethane - hexanes. This facial complex was orange-photoluminescent.

Compounds 1-a, 1-c, 1-f through 1-h, 1-i through 1-m, and 1-r were similarly prepared. In the preparation of compound 1-i, a mixture of isomers was obtained with the fluorine in either the R6 or R8 position.

### PCT/IIS01/20539

	<u> 17</u>	ABLE 5
Compound	Analysis (calcd (found)	NMR (CD <sub>2</sub> Cl <sub>2</sub> , 25°C)
1-a	C: 50.3 (50.1) H: 2.5 (2.7) N: 4.9 (4.9) Cl: 0.0 (0.2)	<sup>1</sup> H: 6.8 (1H), 6.9 (1H), 7.0 (1H), 7.8 (2H), 7.95 (1H), 8.1 (1H)
1-b	C: 47.4 (47.3) H: 2.0 (2.1) N: 4.6 (4.4)	<sup>1</sup> H: 6.4 (1H), 6.75 (1H), 7.7 (1H), 7.8 (1H), 7.95 (1H), 8.05 (1H) <sup>1</sup> 9F: -63.4 (s): -109.5 (ddd)
1-c	C: 47.4 (47.2) H: 2.0 (2.0) N: 4.6 (4.5)	<sup>1</sup> H: 6.6 (1H), 6.7 (1H), 6.9 (1H), 7.8 (1H), 8.0 (1H), 8.6 (1H) <sup>1</sup> 9F: -63.5 (8); -112.8 (ddd)
l-d	C: 55.9 (56.1) H: 3.0 (3.2) N: 5.9 (5.8)	<sup>1</sup> H: 6.6 (2H), 6.8 (1H), 7.0 (1H), 7.6 (1H), 7.7 (1H), 8.4 (1H) <sup>19</sup> F: -115.0 (ddd)
I-o	C: 44.1 (43.3) H: 1.7 (2.1) N: 3.9 (3.6)	<sup>1</sup> H: 6.9 (1H), 7.1 (1H), 7.8 (1H), 8.0 (2H), 8.2 (1H) <sup>1</sup> <sup>9</sup> F: -63.0 (1F), -63.4 (1F)
l-f	C: 50.4 (50.5) H: 2.5 (2.7) N: 4.9 (4.9)	<sup>1</sup> H: 6.9 (1H), 7.1 (2H), 7.6 (1H), 7.8 (1H), 7.9 (1H), 8.1 (1H)

	TABLE 5							
	(continued)							
Compound	Analysis (calcd (found)	NMR (CD <sub>2</sub> Cl <sub>2</sub> , 25°C)						
1-g	C: 55.9 (56.3) H: 3.0 (3.2) N: 5.9 (6.0)	<sup>1</sup> H; 6.4 (1H), 6.7 (1H), 7.0 (1H), 7.6 (1H), 7.7 (2H), 7.9 (1H) <sup>19</sup> F: -112.6 (ddd)						
1-h	C; 51.0 (45.2) H: 2.1 (2.3) N: 4.9 (4.2)	<sup>1</sup> H: 6.8 (1H), 6.95 (1H), 7.05 (1H), 7.7 (1H), 8.0 (1H), 8.9 (1H)						
1-i	C: 49.4 (49.3) H: 2.9 (2.8) N: 4.4 (4.4)	<sup>1</sup> H: 3.6 (3H), 6.3 (1H), 6.6 (1H), 7.7 (2H), 7.85 (1H), 7.95 (1H) <sup>19</sup> F: -63.2						
I-j	C: 47.4 (47.4) H: 2.0 (2.3) N: 4.6 (4.7)	<sup>1</sup> H: 6.7 (m), 7.1 (m), 7.5 (m), 7.6 (m), 7.7 (m), 8.0 (m), 8.2 (m) <sup>19</sup> F: 8 s resonances (-63.063.6) and 8 ddd resonances (-92.2125.5)						
1-k	C: 43.5 (44.0) H: 1.8 (2.1) N: 8.5 (8.4)	<sup>1</sup> H: 6.9 (1H), 7.15 (1H), 8.1 (1H), 8.3 (1H), 8.45 (1H), 8.6 (1H)						
1-1	C: 42.2 (42.1) H: 16. (1.8) N: 3.8 (3.7)	<sup>1</sup> H: 6.5 (1H), 6.7 (1H), 7.75 (1H), 7.85 (1H), 8.0 (1H), 8.1 (1H) (1F), -58.1 (1F), -63.4 (1F)						

PCT/US01/20539

This example illustrates the preparation of iridium complexes of the Second Formula IrLaLbLcXL'yL"z above,

A mixture of IrCl<sub>3</sub>·nH<sub>2</sub>O (54% Ir; 510 mg), 2-(3-trifluoromethylphenyl)quinoline (1.80 g), and silver trifluoroacetate (1.10 g) was vigorously stirred at 190-195°C for 4 hours. The resulting solid was chromatographed on silica with dichloromethane to produce a mixture of the dievelometalated complex and the unreacted ligand. The latter was removed from the mixture by extraction with warm hexanes. After the extracts became colorless the hexane-insoluble solid was collected and dried under vacuum. The yield was 0.29 g. 19F NMR: -63.5 (s, 6F), -76.5 (s, 3F). The structure of this complex was established by a single crystal X ray diffraction study.

Compound 1-o

15

2.5

 $\Lambda$  mixture of  $IrCl_3\cdot nH_2O$  (54% Ir; 500 mg), 2-(2-fluorophenyl)-3-chloro-5-trifluoromethylpyridine (2.22 g), water (0.3 mL), and silver trifluoroacetate (1.00 g) was stirred at 190°C for 1.5 hours. The solid product was chromatographed on silica with dichloromethane to produce 0.33 g of a 2:1 co-crystallized adduct of the dicyclometalated aqua trifluoroacetate complex, 20 compound 1-p, and the unreacted ligand. 19F NMR: -63.0 (9F), -76.5 (3F), -87.7 (2F), -114.4 (1F). The co-crystallized phenylpyridine ligand was removed by recrystallization from dichloromethane-hexanes. The structures of both the adduct and the complex were established by a single crystal X-ray diffraction study

#### EXAMPLE 4

This example illustrates the preparation of an hydroxo iridium dimer, having structure (VIII) above.

A mixture of IrCl3·nH2O (54% Ir; 510 mg), 2-(4-fluorophenyl)-5trifluoromethylpyridine (725 mg), water (5 mL), and 2-ethoxyethanol (20 mL) was vigorously stirred under reflux for 4.5 hours. After a solution of NaOH (2.3 g) in water (5 mL) was added, followed by 20 mL of water, the mixture was stirred under reflux for 2 hours. The mixture was cooled down to room temperature, diluted with 50 mL of water, and filtered. The solid was vigorously stirred under reflux with 30 mL of 1,2-dichloroethane and aqueous NaOH (2.2 g 35 in 8 mL of water) for 6 hours. The organic solvent was evaporated from the mixture to leave a suspension of an orange solid in the aqueous phase. The orange solid was separated by filtration, thoroughly washed with water, and dried under vacuum to produce 0.94 g (95%) of the iridium hydroxo dimer

WO 02/02714 PCT/IIS01/20539

(spectroscopically pure).  $^{1}{\rm H}$  NMR (CD<sub>2</sub>Cl<sub>2</sub>): -1.0 (s, 1H, IrOH), 5.5 (dd, 2H), 6.6 (dt, 2H), 7.7 (dd, 2H), 7.9 (dd, 2H), 8.0 (d, 2H), 9.1 (d, 2H).  $^{19}{\rm F}$  NMR (CD<sub>2</sub>Cl<sub>2</sub>): -62.5 (s, 3F), -109.0 (ddd, 1F).

#### EXAMPLE 5

This example illustrates the preparation of bis-cyclometalated complexes from an iridium dimer.

#### Compound 1-p

A mixture of the iridium hydroxo dimer (100 mg) from Example 4, ethyl acetoacetate (0.075 mL; 4-fold excess), and dichloromethane (4 mL) was stirred at room temperature overnight. The solution was filtered through a short silica plug and evaporated to give an orange-yellow solid which was washed with hexanes and dried. The yield of the complex was 109 mg (94%). <sup>1</sup>H NMR (CD<sub>2</sub>Cl<sub>2</sub>): 1.1 (t, CH<sub>3</sub>), 3.9 (dm, CH<sub>2</sub>), 4.8 (s, CH<sub>3</sub>COCH), 5.9 (m), 6.7 (m), 8.0 (m), 8.8 (d). <sup>19</sup>F NMR (CD<sub>2</sub>Cl<sub>2</sub>): -63.1 (s, 3F), -63.2 (s, 3F), -109.1 (ddd, 1F), -109.5 (ddd). Analysis: Caled: C, 44.9; H, 2.6; N, 3.5. Found: C, 44.4; H, 2.6; N, 3.3.

#### Compound 1-w

A solution of hydroxo iridium dimer from Example 4 (0.20 g) in THF (6 mL) was treated with 50 mg of trifluoroacetic acid, filtered through a short silica plug, evaporated to ca. 0.5 mL, treated with hexanes (8 mL), and left overnight. The yellow crystalline solid was separated, washed with hexanes, and dried under vacuum. Yield (1:1 THF solvate): 0.24 g (96%). <sup>19</sup>F NMR (CD<sub>2</sub>Cl<sub>2</sub>, 20 °C), 6: -63.2 (s, 3F), -76.4 (s, 3F), -107.3 (ddd, 1F). <sup>1</sup>H NMR (CD<sub>2</sub>Cl<sub>2</sub>, 20 °C), 6: 9.2 (br s, 1H), 8.2 (dd, 1H), 8.1 (d, 1H), 7.7 (m, 1H), 6.7 (m, 1H), 5.8 (dd, 1H), 3.7 (m, 2H, 1THF), 1.8 (m, 2H, THF).

### Compound 1-x

A mixture of the trifluoroacetate intermediate, compound 1-w (75 mg), and 2-(4-bromophenyl)-5-bromopyridine (130 mg) was stirred under N<sub>2</sub> at 150-155 °C for 30 min. The resulting solid was cooled to room temperature and dissolved in CH<sub>2</sub>Cl<sub>2</sub>. The resulting solution was filtered through silioa gel and evaporated. The residue was washed several times with warm hexanes and dried under vacuum to leave a yellow, yellow-photoluminescent solid. Yield: 74 mg (86%). <sup>19</sup>F NMR (CD<sub>2</sub>Cl<sub>2</sub>, 20 °C), 8: -63.1 (s, 3F), -63.3 (s, 3F), -108.8 (ddd, 1F), -109.1 (ddd, 1F). <sup>1</sup>H NMR (CD<sub>2</sub>Cl<sub>2</sub>, 20 °C), 8: 8.2 (s), 7.9 (m), 7.7 (m), 7.0 (d), 6.7 (m), 6.2 (dd), 6.0 (dd). The complex was meridional, with the nitrogens of the fluorinated ligands being trans, as confirmed by X-ray analysis.

PCT/US01/20539

#### EXAMPLE 6

This example illustrates the preparation of iridium compounds of the Fifth Formula mer-Ir( $L^a$ )<sub>a</sub> above.

#### Compound 1-s

This complex was synthesized in a manner similar to compound 1-n.

According to the NMR, TLC, and TGA data, the result was an approximately 1:1 mixture of the facial and meridional isomers.

#### Compound 1-t

A mixture of IrCl<sub>3</sub>nH<sub>2</sub>O (54% Ir; 0.40 g), 2-(3,5-difluorophenyl)-510 trifluoromethylpyridine (1.40 g), AgOCOCF<sub>3</sub> (0.81 g), and water (0.5 mL) was vigorously stirred under a flow of N<sub>2</sub> as the temperature was slowly (30-40 min) brought up to 165°C (oil bath). After 40 min at 165°C the mixture solidified. The mixture was cooled down to room temperature. The solids were extracted with dichloromethane until the extracts decolorized. The combined dichloromethane solutions were filtered through a short silica column and evaporated. The residue was thoroughly washed with hexanes and dried under vacuum. Yield; 0.53 g (49%). <sup>19</sup>F NMR (CD<sub>2</sub>Cl<sub>2</sub>, 20 °C), δ: -63.55 (s, 3F), -63.57 (s, 3F), -63.67 (s, 3F), -89.1 (t, 1F), -100.6 (t, 1F), -102.8 (dd, 1F), -118.6 (ddd, 1F), -119.3 (ddd, 1F), -123.3 (ddd, 1F). <sup>1</sup>H NMR (CD<sub>2</sub>Cl<sub>2</sub>, 20 °C), δ: 8.4 (s), 8.1 (m), 7.9 (m), 7.6 (s), 7.5 (m), 6.6 (m), 6.4 (m). The complex was meridional, as was also confirmed by X-ray analysis.

This complex was prepared and isolated similarly to compound 1-q, then purified by crystallization from 1,2-dichloroethane - hexanes. The yield of the purified product was 53%. The complex is mer, as follows from the NMR data. <sup>19</sup>F NMR (CD<sub>2</sub>Cl<sub>2</sub>, 20 °C), 8: -63.48 (s, 3F), -63.52 (s, 6F), -105.5 (ddd, 1F), -105.9 (ddd, 1F), -106.1 (ddd, 1F), -107.4 (t, 1F), -107.9 (t, 1F), -109.3 (t, 1F). <sup>1</sup>H

NMR (CD<sub>2</sub>Cl<sub>2</sub>, 20 °C), 8: 8.6 (m), 8.3 (s), 8.2 (s), 8.1 (m), 7.9 (m), 7.6 (m), 6.6 (m), 6.4 (m), 6.0 (m), 5.8 (m).

#### 30 Compound 1-v

This mer-complex was prepared in a manner similar to compound 1-w, using the trifluoroacetate dicyclometalated intermediate, compound 1-x, and 2-(4-fluorophenyl)-5-trifluoromethylpyridine. <sup>19</sup>F NMR (CD<sub>2</sub>Cl<sub>2</sub>, 20 °C), δ: -63.30 (s, 3F), -63.34 (s, 3F), -63.37 (s, 3F), -108.9 (ddd, 1F), -109.0 (ddd, 1F), -109.7 (ddd, 1F). <sup>1</sup>H NMR (CD<sub>2</sub>Cl<sub>2</sub>, 20 °C), δ: 8.3-7.6 (m), 6.7 (m), 6.6 (dd), 6.3 (dd), 6.0 (dd). This yellow-luminescent merisional complex isomerised to the green luminescent facial isomer, compound 1-b, upon sublimation at 1 atm.

PCT/US01/20539

#### EXAMPLE 7

This example illustrates the formation of OLEDs using the iridium complexes of the invention.

Thin film OLED devices including a hole transport layer (HT layer),

5 electroluminescent layer (EL layer) and at least one electron transport layer (ET layer) were fabricated by the thermal evaporation technique. An Edward Auto 306 evaporator with oil diffusion pump was used. The base vacuum for all of the thin film deposition was in the range of 10<sup>-6</sup> torr. The deposition chamber was capable of depositing five different films without the need to break up the vacuum.

An indium tin oxide (ITO) coated glass substrate was used, having an ITO layer of about 1000-2000 Å. The substrate was first patterned by etching away the unwanted ITO area with 1N HCl solution, to form a first electrode pattern. Polyimide tape was used as the mask. The patterned ITO substrates were then cleaned ultrasonically in aqueous detergent solution. The substrates were then rinsed with distilled water, followed by isopropanol, and then degreased in toluene vapor for ~3 hours.

The cleaned, patterned ITO substrate was then loaded into the vacuum chamber and the chamber was pumped down to 10<sup>-6</sup> forr. The substrate was then further cleaned using an oxygen plasma for about 5-10 minutes. After cleaning, multiple layers of thin films were then deposited sequentially onto the substrate by thermal evaporation. Finally, patterned metal electrodes of Al were deposited through a mask. The thickness of the film was measured during deposition using a quartz crystal monitor (Sycon STC-200). All film thickness reported in the

Examples are nominal, calculated assuming the density of the material deposited to be one. The completed OLED device was then taken out of the vacuum chamber and characterized immediately without encapsulation.

A summary of the device layers and thicknesses is given in Table 6. In all cases the anode was ITO as discussed above, and the cathode was Al baving a thickness in the range of 700-760 Å. In some of the samples, a two-layer electron transport layer was used. The layer indicated first was applied adjacent to the EL layer.

PCT/US01/20539

TABLE 6

Alq3 = tris(8-hydroxyquinolato) aluminum

DDPA = 2,9-dimethyl-4,7-diphenyl-1,10-phenanthroline

Ir(ppy)<sub>3</sub> = fac-tris(2-phenylpyridine) iridium

MPMP = bis[4-(N,N-diethylamino)-2-methylphenyl](4-methylphenyl)methane

Sample	HT layer (Thickness, Å)	EL layer (Thickness, Å)	ET layer (Thickness, Å)
Comparative	MPMP (528)	Ir(ppy) <sub>3</sub> (408)	DDPA (106) + Alq <sub>3</sub> (320)
1	MPMP (520)	Compound <u>I-b</u> (499)	DDPA (125) + Alq <sub>3</sub> (365)
2	MPMP (541)	Compound <u>1-b</u> (580)	DDPA (407)
3	MPMP (540)	Compound <u>1-c</u> (499)	DDPA(112) + Alq <sub>3</sub> (340)
4	MPMP (525)	Compound <u>1-k</u> (406)	DDPA (106) Alq <sub>3</sub> (341)
5	MPMP (570)	Compound <u>1-i</u> (441)	DDPA (107) + Alq <sub>3</sub> (339)
6	MPMP (545)	Compound <u>1-i</u> (462)	DDPA (111) + Alq <sub>3</sub> (319)
7	MPMP (643)	Compound <u>1-g</u> (409)	DDPA (112) + Alq <sub>3</sub> (361)
8	MPMP (539)	Compound <u>1-f</u> (430)	DDPA (109) + Alq <sub>3</sub> (318)
9	MPMP (547)	Compound <u>1-a</u> (412)	DDPA (105) + Alq <sub>3</sub> (300)
10	MPMP (532)	Compound <u>1-h</u> (457)	DDPA (108) + Alq <sub>3</sub> (306)
11	MPMP (603)	Compound <u>1-d</u> (415)	DDPA (111) + Alq <sub>3</sub> (303)
12	MPMP (551)	Compound <u>1-c</u> (465)	DDPA (106) + Alq <sub>3</sub> (313)
13	MPMP (520)	Compound <u>1-l</u> (405)	DDPA (410)

#### PCT/US01/20539

		TABLE 6 (continued)	
	HT layer	EL layer	ET layer
Sample	(Thickness, Å)	(Thickness, A)	(Thickness, Å)
14	MPMP (504)	(400)	DDPA (393)
15	MPMP (518)	Compound <u>1-b</u> (153)	DDPA (418)
16	MPMP (556)	Compound <u>1-m</u> (416)	DDPA (430)
17	MPMP (520)	Compound <u>1-n</u> (419)	DDPA (420)
18	MPMP (511)	Compound <u>1-0</u> (412)	DDPA (413)
19	MPMP (527)	Compound <u>1-p</u> (425)	DDPA (412)
20	MPMP (504)	Compound 1-q (417)	DPA (407)
21	MPMP (525)	Compound 1-t (419)	DPA (416)
22	MPMP (520)	Compound 1-u (421)	DPA (405)

The OLED samples were characterized by measuring their (1) currentvoltage (I-V) curves, (2) electroluminescence radiance versus voltage, and
(3) electroluminescence spectra versus voltage. The apparatus used, 200, is
5 shown in Figure 2. The I-V curves of an OLED sample, 220, were measured with
a Keithley Source-Measurement Unit Model 237, 280. The electroluminescence
radiance (in the unit of Cd/m²) vs. voltage was measured with a Minolta LS-110
luminescence meter, 210, while the voltage was scanned using the Keithley SMU.
The electroluminescence spectrum was obtained by collecting light using a pair of
10 lenses, 230, through an electronic shutter, 240, dispersed through a spectrograph,
250, and then measured with a diode array detector, 260. All three measurements
were performed at the same time and controlled by a computer, 270. The
efficiency of the device at certain voltage is determined by dividing the
electroluminescence radiance of the LED by the current density needed to run the
device. The unit is in Cd/A.

### PCT/US01/20539

### The results are given in Table 7 below:

TABLE 7							
ElectroluminescentProperties of Iridium Compounds							
	Peak	Efficiency at	Peak	Approximate Peak			
	Radiance,	peak radiance,	efficiency,	Wavelengths,			
Sample	Cd/m2	Cd/A	Cd/A	nm			
Comparative	540	0.39	0.48	522			
	at 22 V						
1	1400 at 21 V	3.4	11	525			
2	1900 at 25 V	5.9	13	525			
3	830 at 18 V	1.7	13.5	525			
4	7.6 at 27 V	0.005	0.13	521			
5	175 at 25 V	0.27	1.8	530, 563			
6	514 at 20 V	1.5	2.2	560			
7	800 at 26 V	0.57	1.9	514			
8	1200 at 28 V	0.61	2	517			
9	400 at 18 V	1.1	4	545			
10	190 at 16 V	2.3	3.3	575			
11	1150 at 25 V	1.2	3.8	506, 526			
12	340 at 20 V	0.49	2.1	525			
13	400 at 21 V	3 .	5	520			
14	1900	5	9	525			
15	2500	6	11	525			
16	100 at 27 V	0.17	0.2	560			
17	3.5 at 28 V	0.005	0.014	575			
18	30 at 26 V	0.08	0.16	590			

### PCT/US01/20539

TABLE 7 (continued)							
19	2000 at 21 V	6	8	532			
20	350 at 26 V	0.60	1.6	595			
21	1200 at 22 V		5	545			
22	80 at 19 V		1	540			

The peak efficiency is the best indication of the value of the electroluminescent compound in a device. It gives a measure of how many selectrons have to be input into a device in order to get a certain number of photons out (radiance). It is a fundamentally important number, which reflects the intrinsic efficiency of the light-emitting material. It is also important for practical applications, since higher efficiency means that fewer electrons are needed in order to achieve the same radiance, which in turn means lower power consumption. Higher efficiency devices also tend to have longer lifetimes, since a higher proportion of injected electrons are converted to photons, instead of generating heat or causing an undesirable chemical side reactions. Most of the iridium complexes of the invention have much higher peak efficiencies than the parent fac-tris(2-phenylpyridine) iridium complex. Those complexes with lower efficiencies may also find utility as phosphorescent or photoluminescent materials, or as catalysts, as discussed above.

15

30

PCT/US01/20539

#### **CLAIMS**

What is claimed is:

1. An organic electronic device comprising an emitting layer wherein at least 20% by weight of the emitting layer comprises at least one compound having 5 a formula below:

where:

x = 0 or 1, y = 0, 1 or 2, and z = 0 or 1, with the proviso that: x = 0 or y + z = 0 and

when y = 2 then z = 0; 10

L' = a bidentate ligand or a monodentate ligand, and is not a phenylpyridine, phenylpyrimidine, or phenylquinoline; with the provise that;

> when L' is a monodentate ligand, y+z=2, and when L' is a bidentate ligand, z = 0;

 $L^{\mu}$  = a monodentate ligand, and is not a phenylpyridine, and phenylpyrimidine, or phenylquinoline; and

 $L^a, L^b$  and  $L^c$  are alike or different from each other and each of  $L^a, L^b$ 20 and  $L^{\varepsilon}$  has structure (I) below:

wherein:

25

adjacent pairs of R<sub>1</sub>-R<sub>4</sub> and R<sub>5</sub>-R<sub>8</sub> can be joined to form a five- or six-membered ring,

at least one of  $R_1\text{-}R_8$  is selected from  $F,\,C_nF_{2n+1},\,$  $OC_nF_{2n+1}$ , and  $OCF_2X$ , where n=1-6 and X = H, Cl, or Br, and

A = C or N, provided that when A = N, there is no  $R_1$ .

2. The device of Claim 1 wherein x = 1, y = 0, and z = 0.

3. The device of Claim 2 wherein A = C and none of  $R_1$ - $R_8$  is selected from nitro.

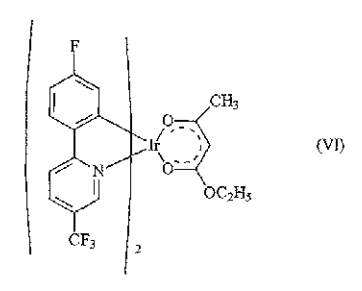
4. The device of Claim 1 wherein R<sub>3</sub> is CF<sub>3</sub>.

PCT/US01/20539

5. The device of Claim 4 wherein at least one of  $R_5$ - $R_8$  is selected from F,  $C_pF_{2n+1}$ ,  $OC_nF_{2n+1}$ , and  $OCF_2X$ , where n=1-6 and X=H, Cl, or Br.

- 6. The device of Claim 2 wherein  $A=C,\,R_3=CF_3,\,R_7=F,$  and  $R_1,\,R_2,\,R_4\cdot R_6$  and  $R_8=H.$
- 7. The device of Claim 2 wherein A = C,  $R_3$  and  $R_6$  =  $CF_3$ , and  $R_1$ ,  $R_2$ ,  $R_4$ ,  $R_5$ ,  $R_7$  and  $R_8$  = H.
  - 8. The device of Claim 2 wherein A = C,  $R_3$  = CF  $_3,\,R_6$  and  $R_8$  = F, and  $R_1,\,R_2,\,R_4,\,R_5,$  and  $R_7$  = H.
    - 9. The device of Claim 1 wherein x = 0 and y = 1 having a structure (VI)

### 10 below:



10. An organic electronic device comprising an emitting layer wherein the emitting layer comprises a diluent and less than 20% by weight of at least one compound that has a formula below:

where:

20

 $L^a,L^b$  and  $L^c$  are alike or different from each other and each of  $L^a,L^b$  and  $L^c$  has structure (I) below:

$$R_{5}$$
 $R_{5}$ 
 $R_{1}$ 
 $R_{2}$ 
 $R_{3}$ 
 $R_{4}$ 
 $R_{5}$ 

PCT/US01/20539

wherein:

adjacent pairs of  $R_1\text{--}R_4$  and  $R_5\text{--}R_8$  can be joined to form a five- or six-membered ring,

at least one of  $R_1$ - $R_3$  is selected from F,  $C_nF_{2n+1}$ ,  $OC_nF_{2n+1}$ , and  $OCF_2X$ , where n=1-6 and X=H, CI, or Br, and A=C or N, provided that when A=N, there is no  $R_1$ .

- The device of Claim 10 wherein the diluent is selected from poly(N-vinyl carbazole), polysilane, 4,4'-N,N'-dicarbazole bipbenyl, and tertiary aromatic amines.
- 10 12. The device of Claim 1, further comprising a hole transport layer selected from N,N'-diphenyl-N,N'-bis(3-methylphenyl)-[1,1'-biphenyl]-4,4'-diamine (TPD), 1,1-bis[(di-4-tolylamino) phenyl]-yclohexane (TAPC), N,N'-bis(4-methylphenyl)-N,N'-bis(4-ethylphenyl)-[1,1'-(3,3'-dimethyl)biphenyl]-4,4'-diamine (ETPD), tetrakis-(3-methylphenyl)-N,N',N'-2,5-phenylenediamine (PDA), -phenyl-4-N,N'-diphenylaminostyrene (TFS), p-(diethylamino)-benzaldehyde diphenylhydrazone (DEH), triphenylamine (TPA), bis[4-(N,N-diethylamino)-2-methylphenyl])(4-methylphenyl)mcthane (MPMP), 1-phenyl-3-[p-(diethylamino)styryl]-5-[p-(diethylamino)phenyl] pyrazoline (PPR or DEASP), 1,2-trans-bis(9!I-carbazol-9-yl)cyclobutane (DCZB), N,N,N',N'-tetrakis(4-methylphenyl)-(1,1'-biphenyl)-4,4'-diamine (TTB), porphyrinic compounds, and combinations thereof.
- The device of Claim 1, further comprising an electron transport layer selected from tris(8-hydroxyquinolato)aluminum, 2,9-dimethyl-4,7-diphenyl-1,10-phenanthroline (DDPA), 4,7-diphenyl-1,10-phenanthroline (DPA), 2-(4-biphenylyl)-5-(4-t-butylphenyl)-1,3,4-oxadiazole (PBD), 3-(4-biphenylyl)-4-phenyl-5-(4-t-butylphenyl)-1,2,4-triazole (TAZ), and combinations thereof.
  - 14. A compound having a formula selected from fac-Ir(L)<sub>3</sub>, mer-Ir(L)<sub>3</sub>, and combinations thereof, where L is selected from group <u>I-a</u> through <u>I-m</u> and <u>I-q</u> through <u>I-v</u>, as shown in Table I, and has structure (I) below:

wherein:

PCT/IIS01/20539

adjacent pairs of  $\rm R_1\text{-}R_4$  and  $\rm R_5\text{-}R_8$  can be joined to form a five- or six-membered ring,

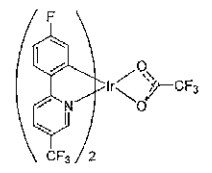
at least one of  $R_1$ - $R_8$  is selected from F,  $C_nF_{2n+1}$ ,  $OC_nF_{2n+1}$ , and  $OCF_2X$ , where n=1-6 and X=H, CI, or Br, and A=C or N, provided that when A=N, there is no  $R_1$ .

15. A compound having a structure selected from structures (IV), (V), (VI), (IX) and (X) below:

$$\begin{array}{c|c} & & & & \\ & &$$

$$CH_3$$
 $CCH_3$ 
 $CCH_3$ 

PCT/IIS01/20539



(IX)



(X)

16. An organic electronic device comprising an emitting layer that comprises a compound selected from the following (i) and (ii):

(i) a compound having a formula selected from  $fac\text{-}Ir(L)_3$ ,  $mer\text{-}Ir(L)_3$ , and combinations thereof, where L is a group selected from 1-a through 1-m and 1-q through 1-v, as shown in Table 1 and has structure (I) below:

$$R_{7}$$
 $R_{9}$ 
 $R_{5}$ 
 $R_{1}$ 
 $R_{2}$ 
 $R_{2}$ 
 $R_{3}$ 
 $R_{3}$ 

15

20

5

10

wherein

adjacent pairs of  $R_1\text{-}R_4$  and  $R_5\text{-}R_8$  can be joined to form a five- or six-membered ring,

at least one of  $R_1$ - $R_g$  is selected from F,  $C_uF_{2n+1}$ ,  $OC_nF_{2n+1}$ , and  $OCF_2X$ , where n=1-6 and X=H, CI, or Br, and

WO 02/02714

PCT/US01/20539

 $A=C \ {\rm or} \ N, \ {\rm provided} \ {\rm that} \ {\rm when} \ A=N, \ {\rm there} \ {\rm is} \ {\rm no} \ R_1;$  (ii) a compound having one of structures (IV), (V), (VI), (IX), and (X)

below:

5

$$\begin{array}{c|c} F_3C & & & \\ \hline \\ N & & \\ CF_3 & & \\ \end{array} \qquad (IV)$$

$$\begin{array}{c|c}
F & CH_2 \\
\hline
CI & CF_3
\end{array}$$

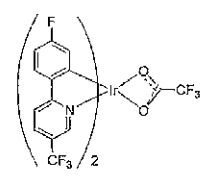
$$\begin{array}{c}
C & CF_3 \\
\end{array}$$

$$\begin{array}{c}
C & CF_3 \\
\end{array}$$

10

PCT/IIS01/20539

WO 02/02714

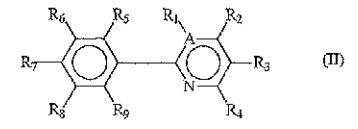


(IX)



(X)

- 17. The device of Claim 16 wherein the emitting layer further comprises a diluent.
- The device of Claim 17 wherein the diluent is selected from
   poly(N-vinyl carbazole), polysilane, 4,4'-N,N'-dicarbazole biphenyl, and tertiary aromatic amines.
  - 19. A compound selected from compounds  $\underline{2\text{--a}}$  through  $\underline{2\text{--aa}}$  as shown in Table 2, having structure (II) below:



15

5

wherein:  $R_9$  is H;

adjacent pairs of  $R_1\!-\!R_4$  and  $R_5\!-\!R_8$  can be joined to form a five- or six-membered ring;

37

WO 02/02714

PCT/US01/20539

at least one of  $R_1$ - $R_8$  is selected from F,  $C_nF_{2n+1}$ ,  $OC_nF_{2n+1}$ , and  $OCF_2X$ , where n=1-6 and X=H, Cl, or Br, and A = C or N, provided that when A = N, there is no  $R_1$ .

20. A compound having structure (III) below:

(III)

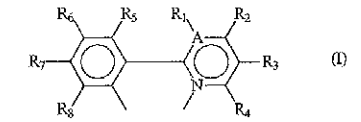
wherein  $\mathrm{R}_{17}=\mathrm{CF}_3$  and  $\mathrm{R}_{10}\text{-}\mathrm{R}_{16}$  and  $\mathrm{R}_{18}\text{-}\mathrm{R}_{20}=\mathrm{H}.$ 10

21. A compound having structure VII below:

wherein:

 $\mathbf{B} = \mathbf{H}$ ,  $\mathbf{C}\mathbf{H}_3$ , or  $\mathbf{C}_2\mathbf{H}_5$ ,

 $L^a, L^b, L^c,$  and  $L^d$  are the same or different from each other; and each of La, Lb, Lc, and Ld has structure (I) below:



wherein: 20

25

adjacent pairs of R<sub>1</sub>-R<sub>4</sub> and R<sub>5</sub>-R<sub>8</sub> can be joined to form a five- or six-membered ring,

at least one of  $R_1$ - $R_8$  is selected from F,  $C_nF_{2n+1}$ ,  $\mathrm{OC}_n F_{2n+1}$  , and  $\mathrm{OCF}_2 X$  , where n=1-6 and  $X\equiv H,\, \mathrm{Cl},\, \mathrm{or}\,\, \mathrm{Br},\, \mathrm{and}\,\,$ A = C or N, provided that when A = N, there is no  $R_{\uparrow}$ .

38

WO 02/02714

5

PCT/US01/20539

22. The compound of Claim 21 wherein:  $L^a=L^b=L^c=L^d; \label{eq:Lagrangian}$ 

B = H;  $R_3 = CF_3;$   $R_7 = F;$ 

 $R_1$ ,  $R_2$ ,  $R_4$ - $R_6$  and  $R_8$  = H.

WO 02/02714 PCT/US01/20539

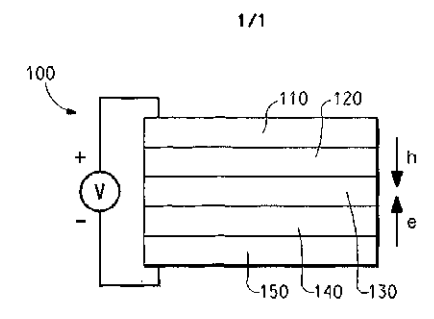


FIG. 1

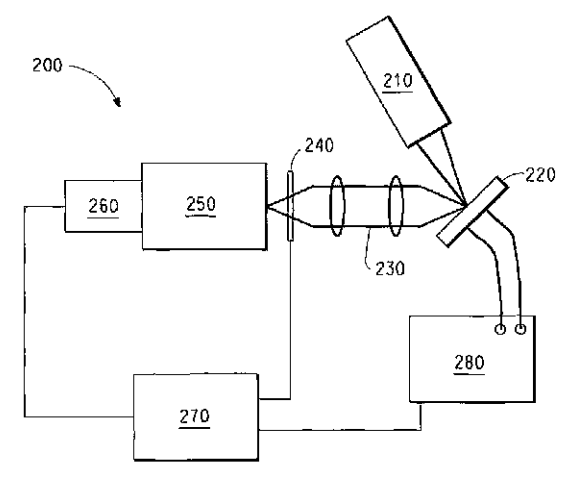


FIG. 2

### 【国際公開パンフレット(コレクトバージョン)】

(12) INTERNATIONAL APPLICATION PUBLISHED UNDER THE PATENT COOPERATION TREATY (PCT)

(19) World Intellectual Property Organization International Bureau



#### 

(43) International Publication Date 10 January 2002 (10.01.2002)

PCT

WO 02/002714 A3

- (51) International Patent Classification<sup>5</sup>: H05B 33, CO9K 11/05, H01L 51/20, CO7F 15/00, CO7D 213/61, 213/26, 213/68, 239/26, H01L 51/30

(26) Publication Lauguage:

(30) Priority Data: 60/215.362 60/224,273

30 June 2000 (30.06.2000) US 10 August 2000 (10.08.2000) US

(71) Applicant gire all designated States except (S): E.L. DII
PONT DE NEMOURS AND COMPANY [US/US]: 1007
Mirket Street, Wilmington, DE 19898 (US).

- (72) Inventors; and
  (75) Inventors/Applicants (for US only): PETROY, Viacheslav, A., RUJISI: 2 Cappa Const. Hackessin, DE 19707 (US) MNG, Ying [US/US]: 4016 Greenmount Road, Willington, DE 19810 (US). GRUSHIM, Vladimir [CA/US], 533 Runnymeade Road, Hockessin, DE 19707 (US).

- H05B 33/14. (74) Agent: WANG, Chen: F. I. Da Pont De Nomaurs And 07D 213/61. (Compony, Legal Patent Records Center, 4417 Lancester Pike, Wilmington, DE 19805 (US).
- - (84) Designated States invitional): ARIPO patent (GH, GM sessioniteu sintes eigenotari: ARTPO palent (c.H. GM, KE, LS, MW, MZ, SO, SL, SZ, TZ, UG, ZW), Eurosian patent (AM, AZ, BY, KG, KZ, MD, RU, TJ, TM), European patent (AT, BE, CH, CY, DE, DK, FS, FL, FR, GB, GR, IE TT. LU. MC. NL. PC SE, TRO OAPI patent (BE BJ. CF CG, Cl. CM, GA, GN, GW, ML, MR, NE, SN, TD, TG).

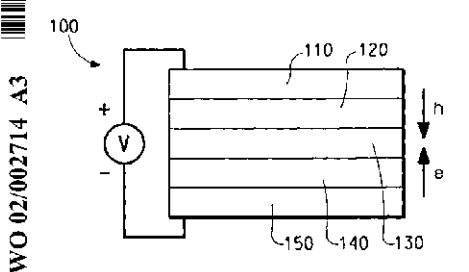
Published:

— with international search report

(88) Date of publication of the international search report: 24 October 2002

For two-letter vodes and other abbreviations, refer to the "Guid-ance Nows on Codes and Abbreviations" appearing at the begin-ming of each regular usus of the PCT Greetic.

(54) Title: PERCEROLIMINESCENT IRIDIUM COMPOUNDS WITH FLIIORINATED PHENYLPYRIDINES. PHENYLPYRIMIDINES, AND PHENYLQUINOLINES AND DEVICES MADE WITH SUCH COMPOUNDS.



(57) Abstract: The present invention is (S9) Abstract: The present overtibon is generally discusted to electroluminescent [x(III) compounds, the substituted 2 phenylogridhes, piem; bytimidines, and phenylogridhes that are used to make the Ir(III) compounds, and devices that are made with the Ir(III) compounds.

## 【国際調査報告】

INTERNATIONAL SEARCH	REPORT	PCT/U\$ 01/205	
	L51/20 C07F1 D239/26 H01L5		61
coording to International Palent Classification (IPC) or to both national	classification and IPC		
tininger documentation searched (classification system followed by of PC 7 H05B C09K H01L C07F C07D	assification symbols)		
enumentation searched other than minimum (ISC. mentation to the exc	ent that such documents are	Included. In the fleids searched	i -
Jecurorio della bewe consulted during the Tracincifornel sewich (mirre o PO-Internal, WPI Data, PAJ, CHEM ABS		loal, search terms used)	
DOCUMENTS CONSIDERED TO BE RELEVANT			
Salegary * Gitation of document, with indication, where appropriate,	of the relevant passages		Risteyapit to claim No.
OJUROVICH PETER I ET AL: "I CYCLOMETALATED COMPLEXES AS PHOOSPHORESCENT EMITTERS IN P AND ORGANIC LEDS" POLIMER PREPRINTS, vol. 41, no. 1, 2000 - March 2000 (2000-03), pag XP001052648 cited in the application the whole document	OLYMER BLEND		1-3,5, 10-13,19
X Further documents are listed in the continuation of box C.	χ Palent far	ni y members are listed in ann	9 <b>x</b> .
Special configures of cited occurrents:  A document obtaining the general state of the cit which is not considered to the cit sandered in the warrier.  Fill each observable that published on or offer the informational ring data.  For death warrier but published on or offer the informational ring data.  For death warrier but published on product or and or offer the cited to endeath the qubit asias of the distribution of the endeath of the public asias of the distribution of the public section (as producing).  Of document of airms pipe as usual disclosure. Use, so historion or other module.  Processional traditions of pipe to the historical rank of the public data in the public data.	crited to under invention  "X" document of pt cannot be gon involved an inv "Y" document of ps cannot be con- document it is morts, such o in the an	published after the internation and must bookfield with the spland the principle of themy of should be principle of themy of should be controlled to should be controlled on should be controlled on should be controlled on the controlled on the the controlled on the con	inderlying the invertion reidened to it's taken alone it invention is spewhen the er such docu-
Date of the actual completion of the internations, search	Date of mailing	g of the international session re	port
5 July 2002		2 9, 07, 2002	
Napse and meiling address of the ISA European Patent Office, P.B. 5818 Patendaar. 2	Аріня Пір і фехіня Пір А	cer	
NL = 2286 HV Pilgwijk Tel, (+31-76) 340-2040, Tx. 81 651 epc nl, Fax: (-31-70) 840-3016	Labor	ert, A	

	INTERNATIONAL SEARCH REPORT	Internat Application No PCT/US 01/20539
C.(Continue	ation) DOCUMENTS CONSIDERED TO BE RELEVANT	·
Category *	Citation of document, with indication, where appropriate, of the relevant possages	Relevant to calm No.
	CHATANI N; IE Y; KAKIUCHI F; MURAI S: "Ru3(CO)12-Catalyzed Reaction of Pyridylbenzenes with Carbon Monoxide and Olefins. Carbonylation at a C-H Bond in the Benzene Ring" JOURNAL OF ORGANIC CHEMISTRY, vol. 62, no. 8, 1997, pages 2604-2610, XP002201286 page 2606, column 2	19
X	GOSMINI C; NÉDÈLEC J Y; PÈRICHON J: "Electrosynthesis of functionalized 2-arylpyridines from functionalized anyl and pyridine halides catalyzed by nickel bromide 2,2"-bipyridine complex" IETRAHEDRON LETTERS, vol. 41, 2000 – 24 June 2000 (2000-06-24), pages 5039-5042, XP002201287 table 2	19
X	CACCHI 5: FABRIZI 6: MARINELLI F: "The Palladium-Catalyzed Transfer Hdrogenation/Heterocyclization of beta-(2-Aminopheny) -alpha,beta-ynones. An Approach to 2-Ary)- and 2-Vinylquinolines" SYNLETT, YP002201288 scheme 1, scheme 2, table 1, compound le	20
A	BALDO M A ET AL: "VERY HIGH-EFFICIENCY GREEN ORGANIC LIGHT-EMITTING DEVICES BASED ON FLECTROPHOSPHORESCENCE"  APPLIED PHYSICS LETTERS, AMERICAN INSTITUTE OF PHYSICS. NEW YORK, US, vol. 75, no. 1, 5 July 1999 (1999-07-05), pages 4-6, XP000850655  ISSN: 0003-6951  the whole document	1-22
A	BALDO M A ET AL: "High-efficiency fluorescent organic light-emitting devices using a phosphorescent sensitizer" NATURE, MACHILLAN JOURNALS LTD. LONDON, GB, vol. 403, no. 6771, 17 February 2000 (2000-02-17), pages 750-753, XP002183466 ISSN: 0028-0836 the whole document	1-22 
A 	WO 96 03410 A (FROMMBERGER BRUND ; VOEGTLE FRITZ (DE): HERRMANN RUPERT (DE); ISSBE) 8 February 1996 (1996-02-08) claims 1,2,20,21	1-22

Form FCT/NA/210 (continuet on of shound sheet) (July 1997)

	INTERNATIONAL SEARCH REPORT	Internal Application No PCT/US 01/20539		
	VION) DOCUMENTS CONSIDERED TO BE RELEVANT			
Category *	Citation of document, with Indirection, where appropriate, or the relevant passages	Relevant to claim No.		
A	DATABASE CAPLUS 'Online! CHEMICAL ABSTRACTS SERVICE, COLUMBUS, ONIO, US; WANG, YUE ET AL: "(Hydroxyphenyl)pyridine derivative, its metal complexes and application a electroluminescence material" retrieved from STN Database accession no. 133:315395 XP002201289 abstract & CN 1 245 822 A (JILIN UNIV., PEOP. REP. CHINA) 1 March 2000 (2000-03-01)	1-22		
A	DEDEIAN ET AL: "A NEW SYNTHETIC ROUTE TO THE PREPARATION OF A SERIES OF STRONG PHOTOREDUCING AGENTS: FAC TRIS-ORTHO-METALATED COMPLEXES OF IRIDIUM (III) WITH SUBSTITUTED 2-PHENYLPYRIDINES" INORGANIC CHEMISTRY, AMERICAN CHEMICAL SOCIETY, EASTON, US, vol. 30, no. 30, 1991, pages 1685-1687, XP001070331 ISSN: 0020-1669 the whole document	16,19		
	O Continuation of eacond phong 4 link 1980)	! !		

#### INTERNATIONAL SEARCH REPORT

Intel Honal appl	leation No.
PCT/US	01/20539

Box I Observations where certain claims were found unsearchable (Continuation of firm 1 of first sheet)
This International Search Poport has not been established in respect of certain claims under Article 17(2)(a) for the following reasons:
Claims Nos.:  necause they relate to subject matter not required to be senroted by this Authority, namely.
Ctains Nos.:     Secuse they relate to parts of the International Application that do not comply with the prescribed requirements to such an extent that no meaningful International Search can be certified out, specifically:
Claims Nos.: because they are dependent chaims and are not drafted in accordance with the second and third sentences of Rule 6.4(a).
Box II Observations where unity of invention is lacking (Continuation of item 2 of first sheet)
This International Searching Authority found multiple inventions in this international application, as follows:
see addittonal sheet
1. X As all required additional scarch fees were timely pard by the applicant, this international Search Report covers all searchable claims.
As all searchable damp could be searched without effort justifying an additional (6e, this Authority did not invite payment of arry additional fee.
As only some of the required additional search (ses were theely paid by the applicant, this International Search Report users only those claims for which less were paid, specifically obtine Nes.:
No required additional search teas were timely paid by the applicant. Consequently, this international Search Report is reclinated to the invention first mentioned in the clears; it is covered by cleans Nos:
Remark on Protest  The additional search toos were accompanied by the applicant's protest.  No protest accompanied the payment of additional search fees.

Form PC1/ISA/210 (continuation of first sheet (1)) (July 1999)

International Application No. PCT/US 01 20539

#### FURTHER INFORMATION CONTINUED FROM PCT/ISA/ 210

This International Searching Authority found multiple (groups of) inventions in this international application, as follows:

1. Claims: 1 (part),2,3,4(part),5(part),6-8,10,11,12(part), 13(part),14,16-18(part)

Organic electronic device comprising an iridium complex IrlaLbLc (containing no other ligands L' or L'') as defined in claim  $1. \,$ 

1.1. Claims: 10,11 Organic electronic device comprising an emiting layer and less than 20% by weight of at least one compound that has a formula Irlalbic as defined in claim 10.

1.2. Claims: 14, 16-18(part)
Compound having a formula selected from fac-Ir(L)3, mer-ir(L)3, and combinations thereof as defined in claim 14 and organic electronic device comprising an emitting layer comprising this compound.

2. Claims: 1(part),4(part),5(part),9,12(part),13(part),15, 16-18(part)

Organic electronic device comprising an iridium complex IrtalbL'L'', Irlalbl'2 , or IlalbL' (containing no ligand Lc) as defined in claim 1.

3. Claim : 19

Organic ligand as defined in claim 19.

4. Claim : 20

Organic ligand as defined in claim 20.

5. Claims: 21-22

Iridium complex as defined in claim 21.

Please note that all inventions mentioned under item 1, although not necessarily linked by a common inventive concept, could be searched without effort justifying an additional fee.

	RNATIO	NAL SEARCH R	EPORT	l		Application No 01/20539
Patent document cited in search report		Publication date		Patent family member(s)		Publication date
WO 9603410	A	08-02-1996	DE	443099	8 A1	01-02-1996
			DE	443934	6 A1	01-02-1996
			ΑT	18773	2 T	15-01-2000
			AT	19329	14 T	15-06-2000
			AT	21407		15-03-2002
			ΑU	68227		25-09-1997
			AU	316499		22-02-1996
			ΑU	68962		02-04-1998
			AU	316509		22-02-1996
			AU	68895		19-03-1998
			UΑ	322049		22-02-1996
			AU	69031		23041998
			ΑU	322059		22-02-1996
			AU	68499		08-01-1998
			AU	322069		22-02-1996
			CA	219564		08-02-1996
			CA	219575		08-02-1996
			CA CN	219579 113091		08-02-1996
			CN		.u a i4 A ,B	11-09-1996 23-10-1996
			CN	115415		23-10-1996 25-06-1997
			CN CN	115292		20-08-1997
			DE	443097		01-02-1996
			DE	443097		01-02-1996
			DE	443934		01-02-1996
			DE	443934		01-02-1996
			DE	5950743		20-01-2000
			DE	5950839		29-06-2000
			DE	5951009		11-04-2002
			MO	960365		08-02-1996
			WO	960365		08-02-1996
			MO	960365	2 A1	08-02-1998
			WO	960340	19 A1	08-02-1996
			WO.	960342	3 A1	08-02-1996
			WO.	960341		08~02-1996
			EP	077261		14-05-1997
			EP	077411		21-05-1997
			EP	077412		21-05-1997
			EΡ	077277		14-05-1997
			EP	072063		10-07-1996
			EP	072355		31-07-1996
			ES	214305		01-05-2000
			ES	214854		16-10-2000
			fΙ	96134		25-03-1996
			fΙ	96135		25-03-1996
			FI	97029		24-01-1997
			FI	97030		24-01-1997
			FI	97030		24-03-1997
			JP JP	950847		26-08-1997
			JP	1050670	10 I	30-06-1998
CN 1245822	A	01-03-2000	NONE			

Ann PG1,5SA/210 (calent tankly annex) (July 7992)

# フロントページの続き

(51) Int .CI.<sup>7</sup> F I テーマコード (参考) C 0 9 K 11/06 C 0 9 K 11/06 6 6 0

(81)指定国 AP(GH,GM,KE,LS,MW,MZ,SD,SL,SZ,TZ,UG,ZW),EA(AM,AZ,BY,KG,KZ,MD,RU,TJ,TM),EP(AT,BE,CH,CY,DE,DK,ES,FI,FR,GB,GR,IE,IT,LU,MC,NL,PT,SE,TR),OA(BF,BJ,CF,CG,CI,CM,GA,GN,GW,ML,MR,NE,SN,TD,TG),AE,AG,AL,AM,AT,AU,AZ,BA,BB,BG,BR,BY,BZ,CA,CH,CN,CO,CR,CU,CZ,DE,DK,DM,DZ,EE,ES,FI,GB,GD,GE,GH,GM,HR,HU,ID,IL,IN,IS,JP,KE,KG,KP,KR,KZ,LC,LK,LR,LS,LT,LU,LV,MA,MD,MG,MK,MN,MW,MX,MZ,NO,NZ,PL,PT,RO,RU,SD,SE,SG,SI,SK,SL,TJ,TM,TR,TT,TZ,UA,UG,US,UZ,VN,YU,ZA,ZW

(72)発明者 イン ワン

アメリカ合衆国 19810 デラウェア州 ウィルミントン グリーンマウント ロード 40

(72)発明者 ウラジミール グルシン

アメリカ合衆国 19707 デラウェア州 ホッケシン ラニミード ロード 533

F ターム(参考) 3K007 AB02 AB03 DB03

4C031 BA09

4C055 AA01 BA02 BA03 BA05 BA08 BA13 BA16 BB01 BB02 CA02 CA03 CA06 CA13 CA39 CA51 DA01 DA42 DB01 DB02 CA05 AA01 AA03 AB92



专利名称(译)	具有氟化苯基吡啶,苯基嘧啶和苯	基喹啉的电致发光铱化合物和用	这些化合物制成的装置
公开(公告)号	JP2004503059A	公开(公告)日	2004-01-29
申请号	JP2002507959	申请日	2001-06-27
[标]申请(专利权)人(译)	纳幕尔杜邦公司		
申请(专利权)人(译)	EI杜邦母鹿内穆尔 & Company公司	]	
[标]发明人	ブャチェスラブエーペトロフ インワン ウラジミールグルシン		
发明人	ブャチェスラブ エー.ペトロフ イン ワン ウラジミール グルシン		
IPC分类号	H01L51/50 C07D213/26 C07D213/26 C07F15/00 C09K11/06 H01L5		C07D215/04 C07D215/12 C07D239
CPC分类号		7 C09K2211/1011 C09K2211/10	C07D215/04 C07D239/26 C07F15 014 C09K2211/1029 C09K2211/185 2 Y10S428/917
FI分类号	H05B33/14.B C07D213/26 C07D2	213/30 C07D215/12 C07F15/00	.E C09K11/06.660
F-TERM分类号	/BA05 4C055/BA08 4C055/BA13	4C055/BA16 4C055/BB01 4C05 /CA39 4C055/CA51 4C055/DA0	1 4C055/BA02 4C055/BA03 4C055 55/BB02 4C055/CA02 4C055/CA03 01 4C055/DA42 4C055/DB01 4C055
代理人(译)	谷义 安倍晋三和夫		
优先权	60/215362 2000-06-30 US 60/224273 2000-08-10 US		
其他公开文献	JP2004503059A5 JP5174310B2		
外部链接	Espacenet		

# 摘要(译)

本发明一般涉及用电致发光lr(III)化合物,用于制备lr(III)化合物的取代的2-苯基吡啶,苯基嘧啶和苯基喹啉以及lr(III)化合物制备的器件。已经完成了。

